

**Estrategia de Refinamientos Automáticos *hp*
Integrada con un Resolvedor de Dos Mallas:
Aplicaciones al Electromagnetismo**

David Pardo Zubiaur

Supervisor: Leszek Demkowicz

Equipo: L. Demkowicz, D. Pardo, D. Xue, J. Kurtz, M. Paszynski, Ch. Larson

Colaboradores: L.E. García Castillo, W. Rachowicz, A. Zdunek, M. Ainsworth

III Encuentro Ibérico de Electromagnetismo Computacional

16 de Diciembre 2003

**Institute for Computational Engineering and Sciences (ICES)
Universidad de Tejas en Austin**

**Estrategia de Refinamientos Automáticos *hp*
Integrada con un Resolvedor de Dos Mallas:
Aplicaciones al Electromagnetismo**

David Pardo Zubiaur

Supervisor: Leszek Demkowicz

Equipo: L. Demkowicz, D. Pardo, D. Xue, J. Kurtz, M. Paszynski, Ch. Larson

Colaboradores: L.E. García Castillo, W. Rachowicz, A. Zdunek, M. Ainsworth

Universidad Politécnica de Valencia

17 de Diciembre 2003

**Institute for Computational Engineering and Sciences (ICES)
Universidad de Tejas en Austin**

**Estrategia de Refinamientos Automáticos *hp*
Integrada con un Resolvedor de Dos Mallas:
Aplicaciones al Electromagnetismo**

David Pardo Zubiaur

Supervisor: Leszek Demkowicz

Equipo: L. Demkowicz, D. Pardo, D. Xue, J. Kurtz, M. Paszynski, Ch. Larson

Colaboradores: L.E. García Castillo, W. Rachowicz, A. Zdunek, M. Ainsworth

Universidad Carlos III de Madrid

18 de Diciembre 2003

**Institute for Computational Engineering and Sciences (ICES)
Universidad de Tejas en Austin**

**Estrategia de Refinamientos Automáticos *hp*
Integrada con un Resolvedor de Dos Mallas:
Aplicaciones al Electromagnetismo**

David Pardo Zubiaur

Supervisor: Leszek Demkowicz

Equipo: L. Demkowicz, D. Pardo, D. Xue, J. Kurtz, M. Paszynski, Ch. Larson

Colaboradores: L.E. García Castillo, W. Rachowicz, A. Zdunek, M. Ainsworth

Universidad Autónoma de Madrid

19 de Diciembre 2003

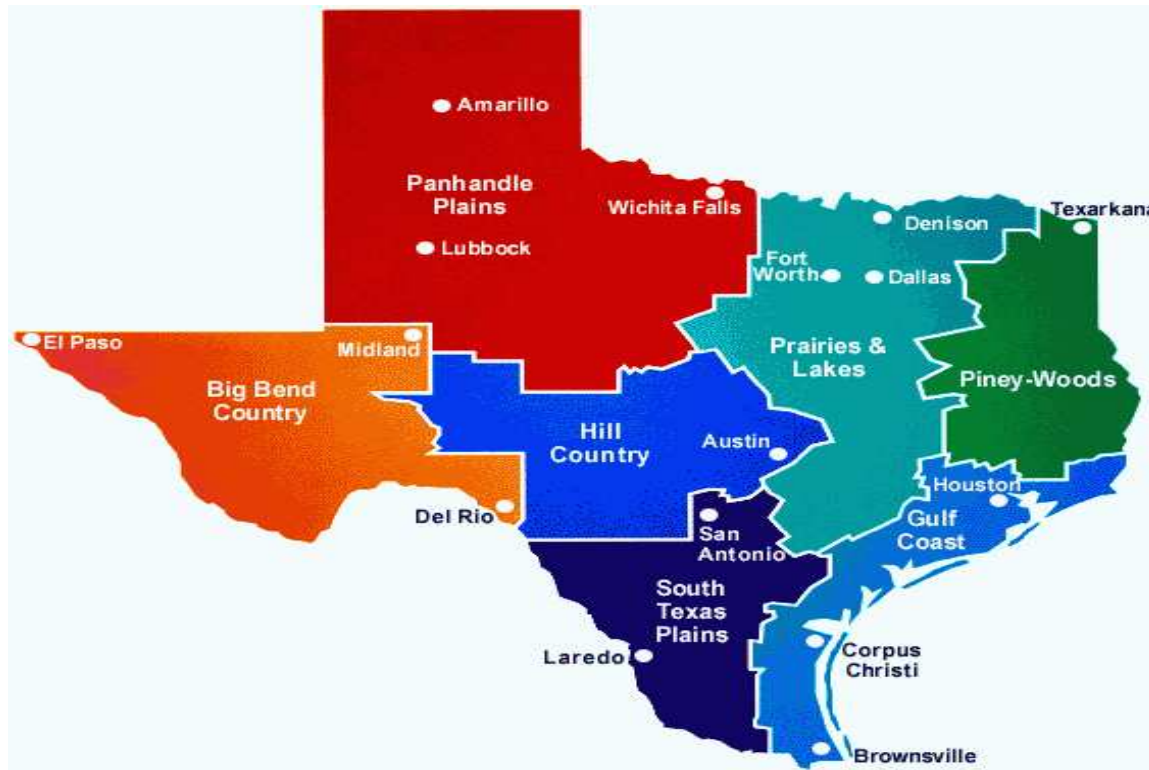
**Institute for Computational Engineering and Sciences (ICES)
Universidad de Tejas en Austin**

TABLA DE CONTENIDOS

1. Universidad de Tejas en Austin.
2. Motivación.
3. Ecuaciones de Maxwell.
4. Elementos Finitos *hp*.
5. Estrategia de Refinamientos Automáticos en *hp*.
6. Resolvedor de Dos Mallas (Problemas Positivos Definidos).
7. Resolvedor de Dos Mallas (Problemas Electromagnéticos).
8. Eficiencia del Resolvedor de Dos Mallas.
9. Aplicaciones al Electromagnetismo.
10. Conclusiones.

1. UNIVERSIDAD DE TEJAS EN AUSTIN

TEJAS



Everything is bigger in Texas

1. UNIVERSIDAD DE TEJAS EN AUSTIN

TEJAS



1. UNIVERSIDAD DE TEJAS EN AUSTIN

AUSTIN



1. UNIVERSIDAD DE TEJAS EN AUSTIN

Universidad de Tejas en Austin



1. UNIVERSIDAD DE TEJAS EN AUSTIN

Universidad de Tejas en Austin



1. UNIVERSIDAD DE TEJAS EN AUSTIN

Institute for Computational Engineering and Sciences (ICES)

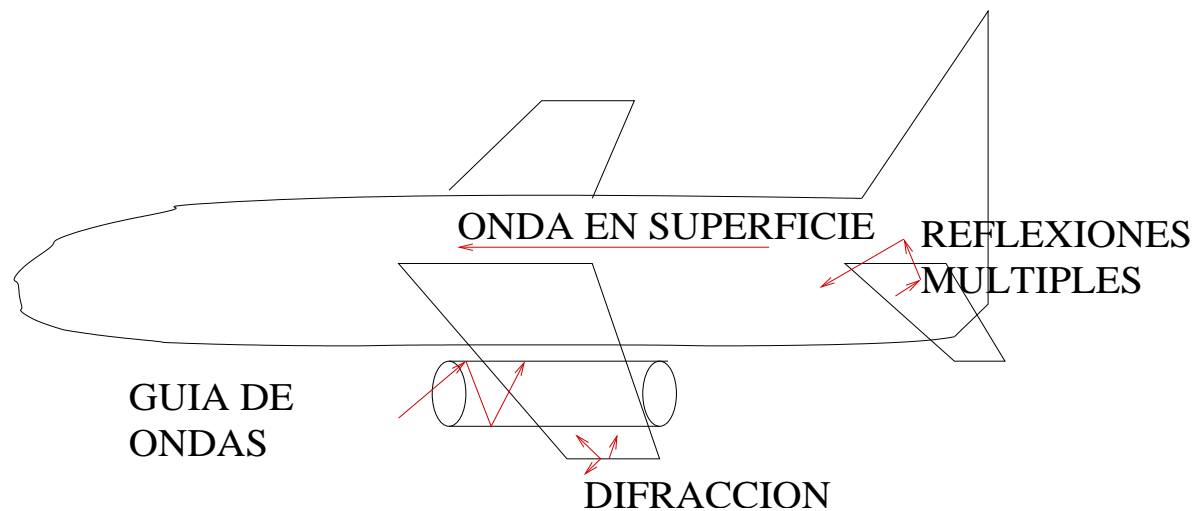


Programa Interdisciplinar

- 1/3 Matemáticas
- 1/3 Métodos Numéricos (Informática)
- 1/3 Ingeniería

2. MOTIVACIÓN

Análisis de la Sección Radar

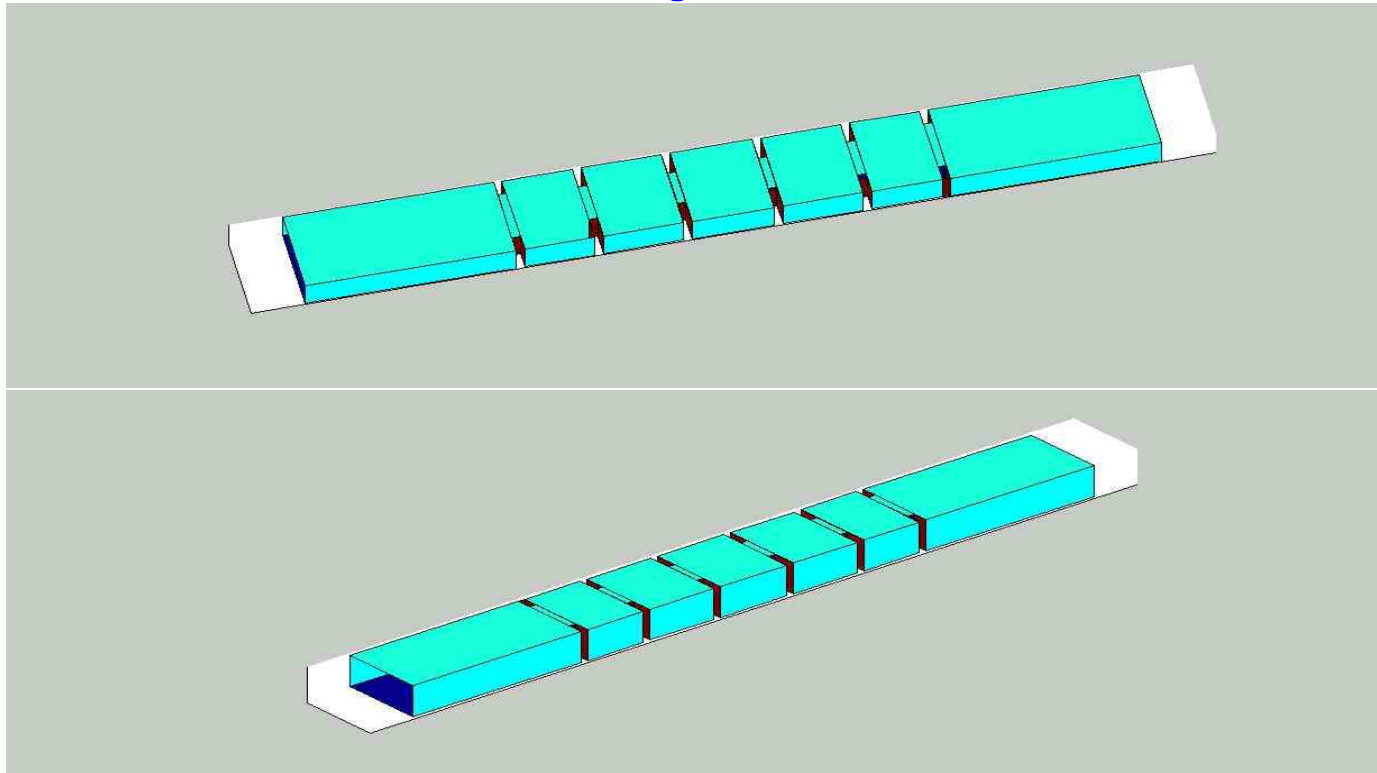


$$RCS = 4\pi \frac{\text{Energía reflejada con respecto al ángulo}}{\text{Energía incidente}} = \lim_{r \rightarrow \infty} 4\pi r^2 \frac{|E^s|}{|E^i|}$$

Objetivo: Determinación de la sección radar del avión.

2. MOTIVACIÓN

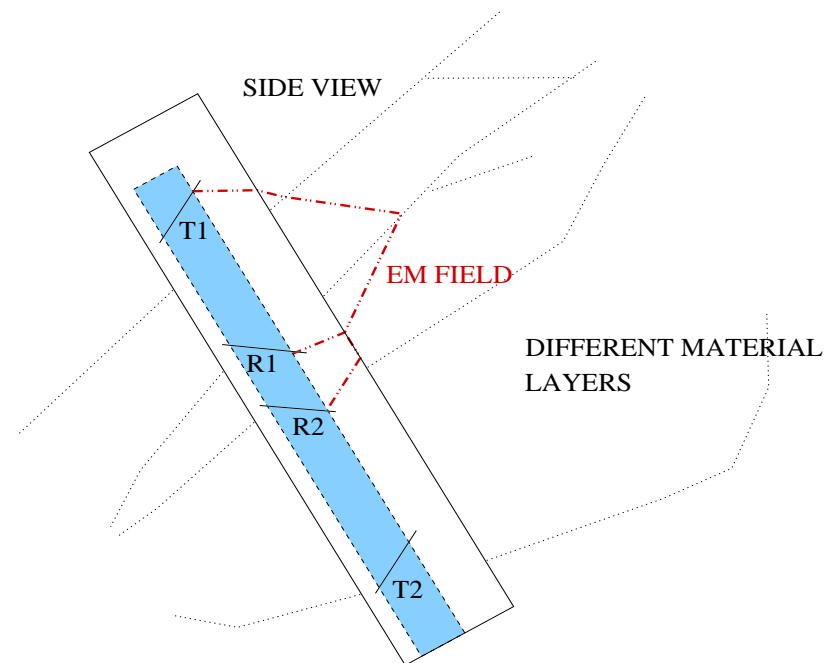
Diseño de guía de ondas



Objetivo: Determinación de la intensidad del campo eléctrico en los puertos de entrada y/o salida.

2. MOTIVACIÓN

Diseño de herramientas electromagnéticas para la perforación de pozos petrolíferos



Objetivo: Determinación del campo electromagnético en las antenas receptoras.

3. ECUACIONES DE MAXWELL

Ecuaciones de Maxwell en el Dominio de la Frecuencia:

$$\nabla \times \mathbf{E} = -j\mu\omega\mathbf{H}$$

$$\nabla \times \mathbf{H} = j\omega\epsilon\mathbf{E} + \sigma\mathbf{E} + \mathbf{J}^{imp}$$

Ecuación de Onda (Reducida):

$$\nabla \times \left(\frac{1}{\mu} \nabla \times \mathbf{E} \right) - (\omega^2\epsilon - j\omega\sigma)\mathbf{E} = -j\omega\mathbf{J}^{imp},$$

Condiciones en la Frontera:

- Dirichlet:

$$\mathbf{n} \times \mathbf{E}^s = -\mathbf{n} \times \mathbf{E}^{inc}$$

$$\mathbf{n} \times \mathbf{E} = 0$$

- Neumann:

$$\mathbf{n} \times \frac{1}{\mu} \nabla \times \mathbf{E}^s = -\mathbf{n} \times \frac{1}{\mu} \nabla \times \mathbf{E}^{inc}$$

$$\mathbf{n} \times \frac{1}{\mu} \nabla \times \mathbf{E} = -j\omega\mathbf{J}_S^{imp}$$

- Condición de radiación de Silver Müller en ∞ :

$$\mathbf{e}_r \times (\nabla \times \mathbf{E}^s) - jk_0 \times \mathbf{E}^s = O(r^{-2})$$

3. ECUACIONES DE MAXWELL

Formulación Variacional

Ecuación de onda (reducida) en Ω ,

$$\nabla \times \left(\frac{1}{\mu} \nabla \times E \right) - (\omega^2 \epsilon - j\omega\sigma)E = -j\omega J^{imp},$$

Formulación Variacional:

$$\left\{ \begin{array}{l} \text{Encontrar } E \in H_D(\text{curl}; \Omega) \text{ tal que} \\ \int_{\Omega} \frac{1}{\mu} (\nabla \times E) \cdot (\nabla \times \bar{F}) dx - \int_{\Omega} (\omega^2 \epsilon - j\omega\sigma) E \cdot \bar{F} dx = \\ -j\omega \left\{ \int_{\Omega} J^{imp} \cdot \bar{F} dx + \int_{\Gamma_2} J_S^{imp} \cdot \bar{F} dS \right\} \end{array} \right. \text{ para todo } F \in H_D(\text{curl}; \Omega).$$

Formulación Variacional estabilizada (usando un *Multiplicador de Lagrange*):

$$\left\{ \begin{array}{l} \text{Encontrar } E \in H_D(\text{curl}; \Omega), p \in H_D^1(\Omega) \text{ tal que} \\ \int_{\Omega} \frac{1}{\mu} (\nabla \times E) \cdot (\nabla \times \bar{F}) dx - \int_{\Omega} (\omega^2 \epsilon - j\omega\sigma) E \cdot \bar{F} dx - \int_{\Omega} (\omega^2 \epsilon - j\omega\sigma) \nabla p \cdot \bar{F} dx = \\ -j\omega \left\{ \int_{\Omega} J^{imp} \cdot \bar{F} dx + \int_{\Gamma_2} J_S^{imp} \cdot \bar{F} dS \right\} \quad \forall F \in H_D(\text{curl}; \Omega) \\ - \int_{\Omega} (\omega^2 \epsilon - j\omega\sigma) E \cdot \nabla \bar{q} dx = -j\omega \left\{ \int_{\Omega} J^{imp} \cdot \nabla \bar{q} dx + \int_{\Gamma_2} J_S^{imp} \cdot \nabla \bar{q} dS \right\} \quad \forall q \in H_D^1(\Omega). \end{array} \right.$$

3. ECUACIONES DE MAXWELL

El diagrama de Rham

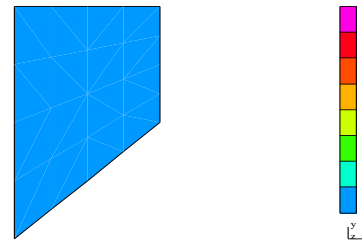
El diagrama de Rham juega un papel fundamental en la teoría de Elementos Finitos con aplicaciones al electromagnetismo.

$$\begin{array}{ccccccccc}
 \mathbb{R} & \longrightarrow & W & \xrightarrow{\nabla} & Q & \xrightarrow{\nabla \times} & V & \xrightarrow{\nabla \circ} & L^2 & \longrightarrow & 0 \\
 \downarrow id & & \downarrow \Pi & & \downarrow \Pi^{\text{curl}} & & \downarrow \Pi^{\text{div}} & & \downarrow P & & \\
 \mathbb{R} & \longrightarrow & W^p & \xrightarrow{\nabla} & Q^p & \xrightarrow{\nabla \times} & V^p & \xrightarrow{\nabla \circ} & W^{p-1} & \longrightarrow & 0 .
 \end{array}$$

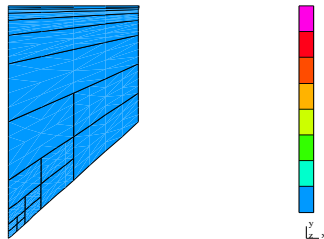
Este diagrama relaciona dos sucesiones de espacios exactas (en el sentido matemático), una formada por espacios de dimensión infinita, y otra formada por espacios de dimensión finita, por medio de unos interpoladores.

4. ELEMENTOS FINITOS EN HP

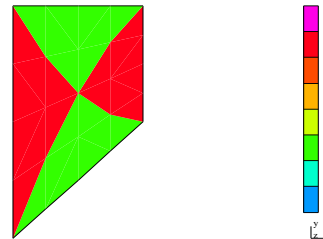
Diferentes tipos de refinamientos en elementos finitos:



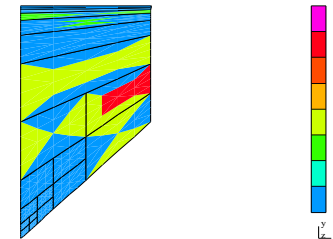
Malla inicial



Malla refinada en h



Malla refinada en p



Malla refinada en hp

4. REFINAMIENTOS (ADAPTIVIDAD) EN HP

Produce Convergencia Exponencial
en problemas CON y sin singularidades

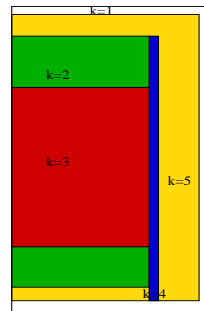
si el mallado es óptimo en hp , tanto
en el régimen asintótico (resultados teóricos y numéricos), como
en el régimen preasintótico (resultados numéricos).

El error de dispersión es más pequeño
a medida que p incrementa.

Es posible reproducir más detalles geométricos
a medida que el tamaño h de cada elemento disminuye.

4. REFINAMIENTOS (ADAPTIVIDAD) EN *HP*

Ecuación del calor NO isotrópica

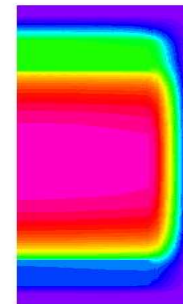


Ecuación: $\nabla(K\nabla u) = f^{(k)}$

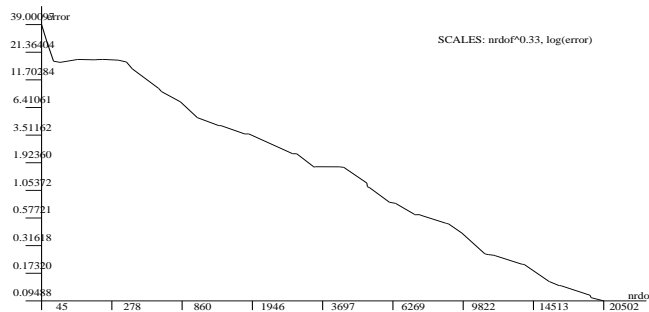
$$K = K^{(k)} = \begin{bmatrix} K_x^{(k)} & 0 \\ 0 & K_y^{(k)} \end{bmatrix}$$

$$K_x^{(k)} = (25, 7, 5, 0,2, 0,05)$$

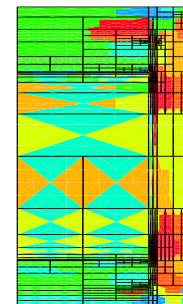
$$K_y^{(k)} = (25, 0,8, 0,0001, 0,2, 0,05)$$



Solución: Desconocida
 Condiciones en la Frontera:
 $K^{(i)} \nabla u \cdot n = g^{(i)} - \alpha^{(i)} u$



Convergencia exponencial
 (tolerancia en el error= 0.1 %)

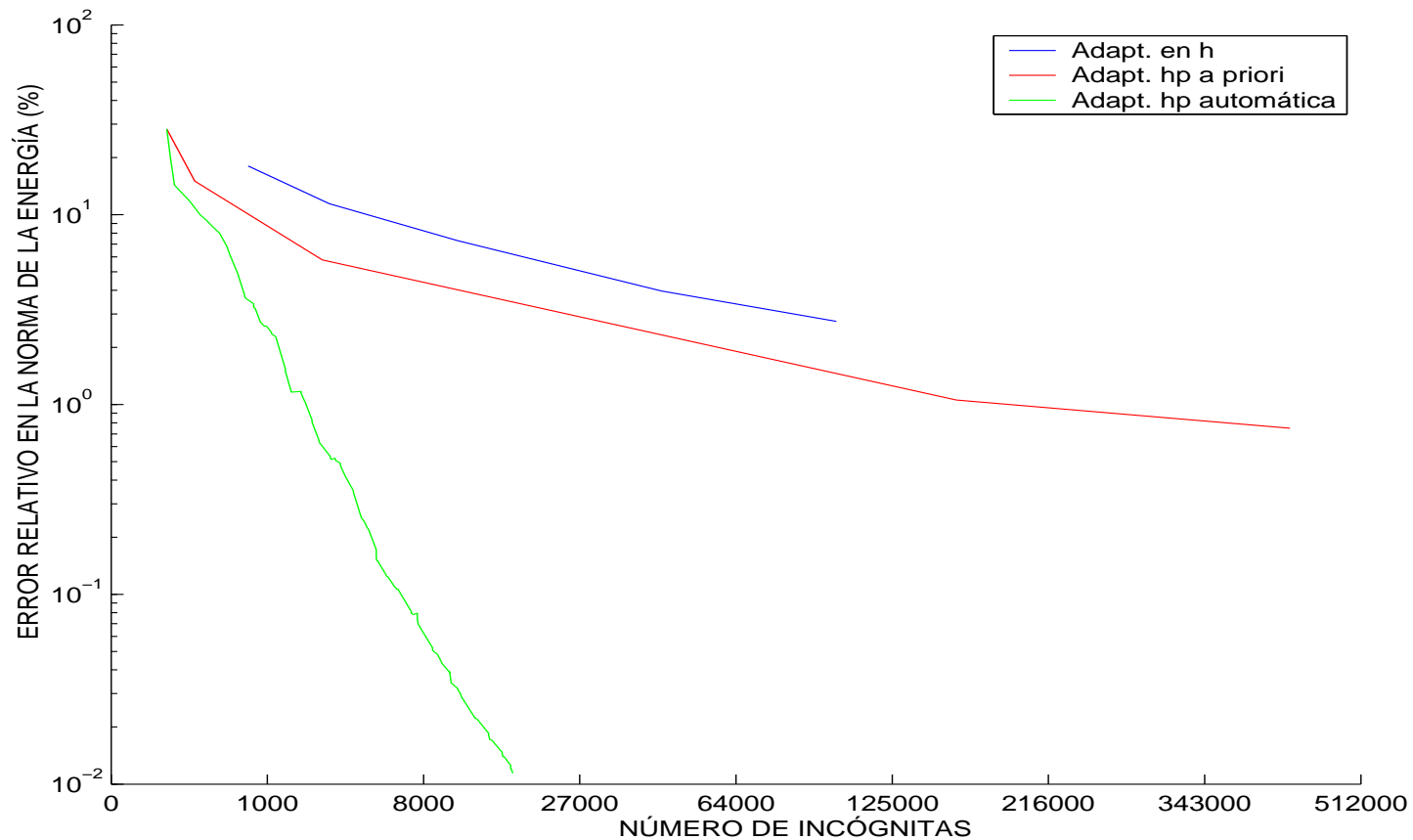


Mallado *hp* óptimo

4. REFINAMIENTOS (ADAPTIVIDAD) EN *HP*

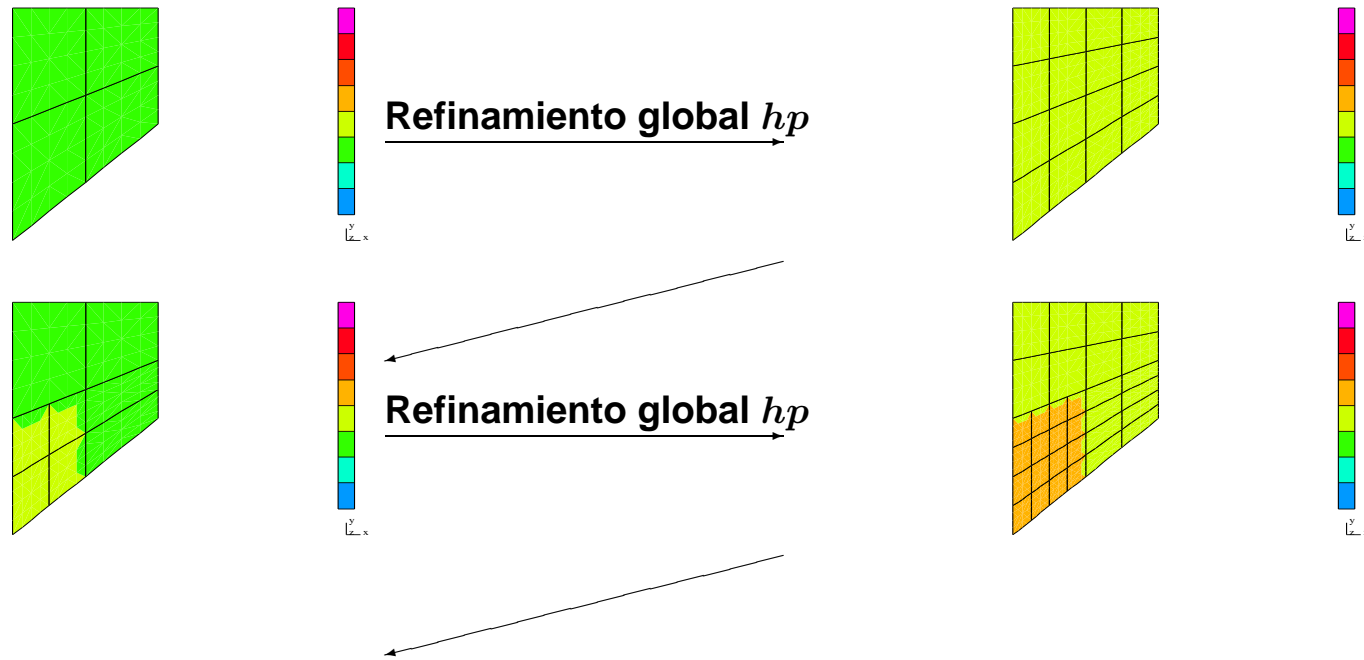
Convergencia usando distintos tipos de refinamientos

Ecuación del calor NO isotrópica



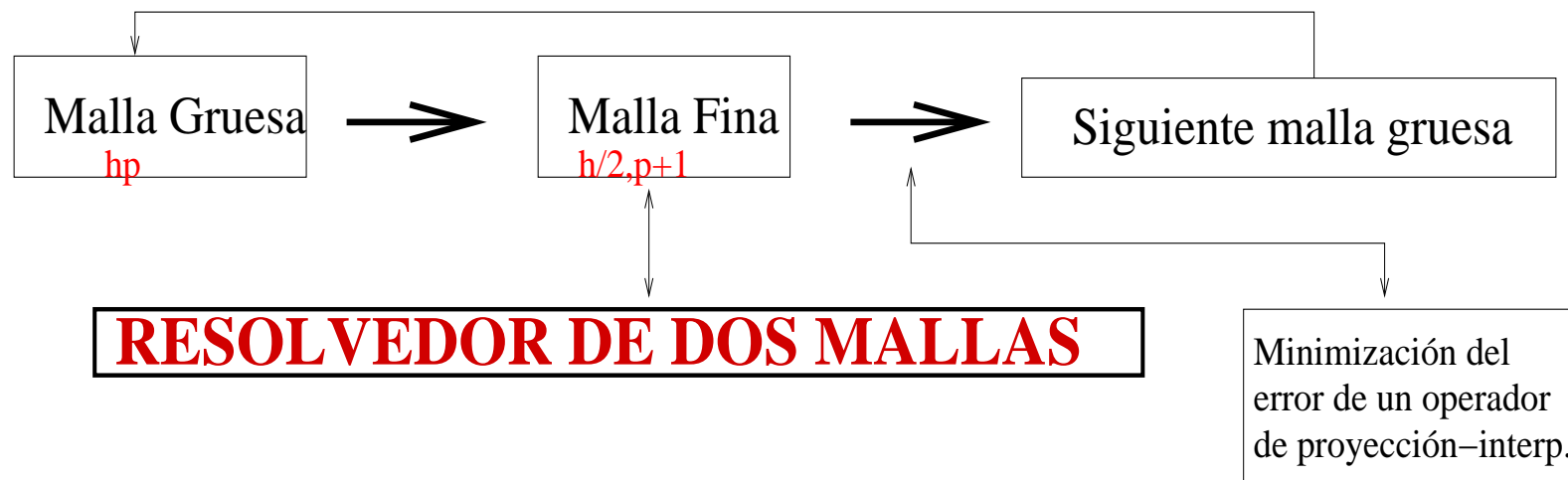
5. REFINAMIENTOS AUTOMÁTICOS EN HP

Refinamientos automáticos en hp



5. REFINAMIENTOS AUTOMÁTICOS EN HP

La estrategia de refinamientos automáticos en hp converge exponencialmente, permitiendo obtener soluciones muy precisas de problemas electromagnéticos complejos.



RESOLVEDOR DE DOS MALLAS (SPD)

Buscamos x tal que $Ax = b$. Usando iteraciones de Richardson:

$$\begin{aligned} r^{(n+1)} &= [I - \alpha^{(n)} AS]r^{(n)} \\ x^{(n+1)} &= x^{(n)} + \alpha^{(n)} Sr^{(n)} \end{aligned}$$

donde S es una matriz, y $\alpha^{(n)}$ un parámetro de relajación. $\alpha^{(n)}$ **óptimo** si:

$$\alpha^{(n)} = \arg \min \| x^{(n+1)} - x \|_A = \frac{(A^{-1}r^{(n)}, Sr^{(n)})_A}{(Sr^{(n)}, Sr^{(n)})_A}$$

Así, definimos nuestro resolvidor de dos mallas como:

$$\begin{aligned} &1 \text{ iteración con } S = S_F = \sum A_i^{-1} \quad + \\ &1 \text{ iteración con } S = S_C = PA_C^{-1}R \end{aligned}$$

RESOLVEDOR DE DOS MALLAS (SPD)

Reducción del error y criterio de parada

Sea $e^{(n)} = x^{(n)} - x$ el error en el paso n , $\tilde{e}^{(n)} = [I - S_C A]e^{(n)} = [I - P_C]e^{(n)}$. Entonces:

$$\frac{\|e^{(n+1)}\|_A^2}{\|e^{(n)}\|_A^2} = 1 - \frac{|(\tilde{e}^{(n)}, S_F A \tilde{e}^{(n)})_A|^2}{\|\tilde{e}^{(n)}\|_A^2 \|S_F A \tilde{e}^{(n)}\|_A^2} = 1 - \frac{|(\tilde{e}^{(n)}, (P_C + S_F A)\tilde{e}^{(n)})_A|^2}{\|\tilde{e}^{(n)}\|_A^2 \|S_F A \tilde{e}^{(n)}\|_A^2}$$

Por consiguiente:

$$\frac{\|e^{(n+1)}\|_A^2}{\|e^{(n)}\|_A^2} \leq \sup_e \left[1 - \frac{|(e, (P_C + S_F A)e)_A|^2}{\|e\|_A^2 \|S_F A e\|_A^2} \right] \leq C < 1 \quad (\text{Reducción del Error})$$

Para nuestro criterio de parada, deseamos: Error del Método Iterativo \approx Error de Discretización. Es decir:

$$\frac{\|e^{(n+1)}\|_A}{\|e^{(0)}\|_A} \leq 0,01 \quad (\text{Criterio de Parada})$$

RESOLVEDOR DE DOS MALLAS (EM)

Buscamos x tal que $Ax = b$. Usando iteraciones de Richardson:

$$\begin{aligned} r^{(n+1)} &= [I - \alpha^{(n)} AS]r^{(n)} \\ x^{(n+1)} &= x^{(n)} + \alpha^{(n)} Sr^{(n)} \end{aligned}$$

donde S es una matriz, y $\alpha^{(n)}$ un parámetro de relajación. $\alpha^{(n)}$ **óptimo** si:

$$\alpha^{(n)} = \arg \min \| x^{(n+1)} - x \|_B = \frac{(A^{-1}r^{(n)}, Sr^{(n)})_B}{(Sr^{(n)}, Sr^{(n)})_B} \quad \text{(NO COMPUTABLE)}$$

Definimos nuestro resolvedor de dos mallas para problemas **EM** como:

$$\begin{aligned} &1 \text{ iteración con } S = S_F = \sum A_i^{-1} \quad + \\ &1 \text{ iteración con } S = S_{\nabla} = \sum G_i^{-1} \quad + \\ &1 \text{ iteración con } S = S_C = PA_C^{-1}R \end{aligned}$$

RESOLVEDOR DE DOS MALLAS (EM)

Un resolvedor de dos mallas utilizando elementos finitos hp
con aplicaciones al electromagnetismo

Consideramos los dos siguientes problemas:

Problema I: $\nabla \times \nabla \times \mathbf{E} - k^2 \mathbf{E} = \mathbf{J}$

Expresión matricial: $Au = v$

Ciclo V del resolvedor de dos mallas:

$$TG = (I - \alpha_1 S_F A)(I - \alpha_2 S_\nabla A)(I - S_C A_C)$$

Problema II: $\nabla \times \nabla \times \mathbf{E} + \mathbf{E} = \mathbf{J}$

Expresión matricial: $\hat{A}u = v$

Ciclo V del resolvedor de dos mallas:

$$\widehat{TG} = (I - \alpha_1 \hat{S}_F \hat{A})(I - \alpha_2 \hat{S}_\nabla \hat{A})(I - \hat{S}_C \hat{A}_C)$$

Teorema: Si h es suficientemente pequeño, entonces:

$$\| TGe^{(n)} \| \leq \| \widehat{TGe}^{(n)} \| + Ch$$

Nótese que C es independiente de h y p .

RESOLVEDOR DE DOS MALLAS (EM)

Un resolvedor de dos mallas utilizando elementos finitos hp con aplicaciones al electromagnetismo

Descomposición de Helmholtz:

$$H_D(\text{curl}; \Omega) = (\text{Ker}(\text{curl})) \oplus (\text{Ker}(\text{curl}))^\perp$$

Definimos los siguientes subespacios (T = malla, K = elemento, v = vértice, e = arista):

$$\begin{aligned} \Omega_{k,i}^v &= \text{int}(\cup\{\bar{K} \in T_k : v_{k,i} \in \partial K\}) ; & \Omega_{k,i}^e &= \text{int}(\cup\{\bar{K} \in T_k : e_{k,i} \in \partial K\}) & \text{Descomposición del espacio} \\ M_{k,i}^v &= \{u \in M_k : \text{supp}(u) \subset \Omega_{k,i}^v\} ; & M_{k,i}^e &= \{u \in M_k : \text{supp}(u) \subset \Omega_{k,i}^e\} & \text{Descomposición de elementos} \\ W_{k,i}^v &= \{u \in W_k : \text{supp}(u) \subset \Omega_{k,i}^v\} ; & W_{k,i}^e &= \{u \in W_k : \text{supp}(u) \subset \Omega_{k,i}^e\} = \emptyset & \text{Descomposición polinomial} \end{aligned}$$

Hiptmair propuso la siguiente descomposición de M_k :

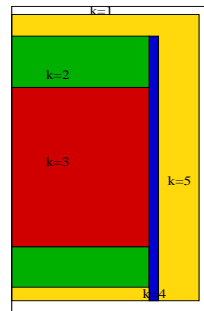
$$M_k = \sum_e M_{k,i}^e + \sum_v \nabla W_{k,i}^v$$

Arnold *et. al* propusieron la siguiente descomposición de M_k :

$$M_k = \sum_v M_{k,i}^v$$

EFICIENCIA DEL RESOLVEDOR DE DOS MALLAS

Ecuación del calor NO isotrópica

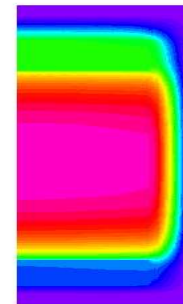


Ecuación: $\nabla(K\nabla u) = f^{(k)}$

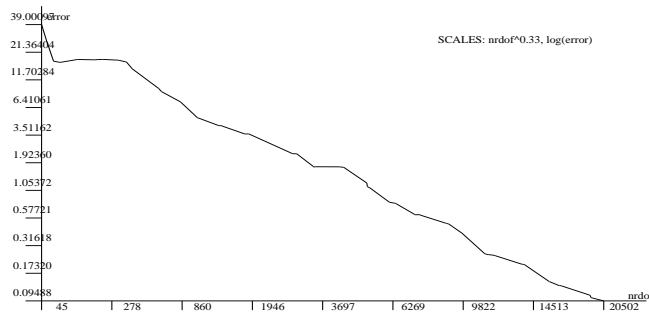
$$K = K^{(k)} = \begin{bmatrix} K_x^{(k)} & 0 \\ 0 & K_y^{(k)} \end{bmatrix}$$

$$K_x^{(k)} = (25, 7, 5, 0,2, 0,05)$$

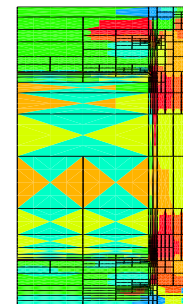
$$K_y^{(k)} = (25, 0,8, 0,0001, 0,2, 0,05)$$



Solución: Desconocida
 Condiciones en la Frontera:
 $K^{(i)} \nabla u \cdot n = g^{(i)} - \alpha^{(i)} u$



Convergencia exponencial
 (tolerancia en el error= 0.1 %)

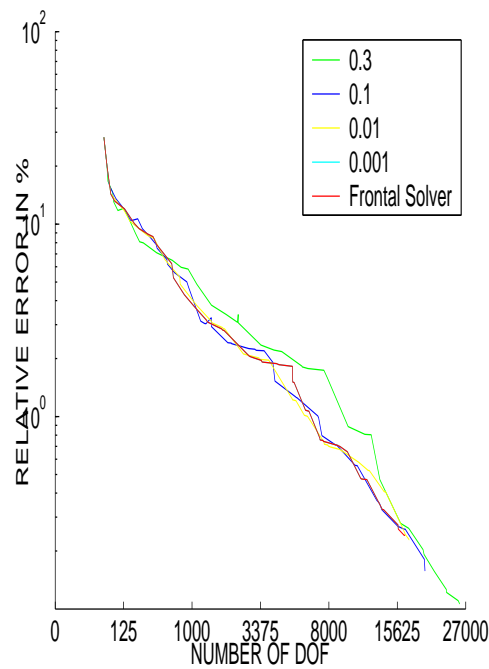


Mallado hp óptimo

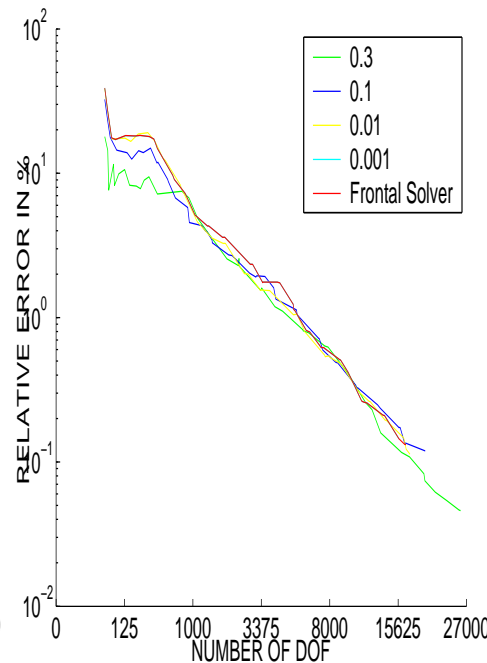
EFICIENCIA DEL RESOLVEDOR DE DOS MALLAS

Guiando refinamientos automáticos en hp

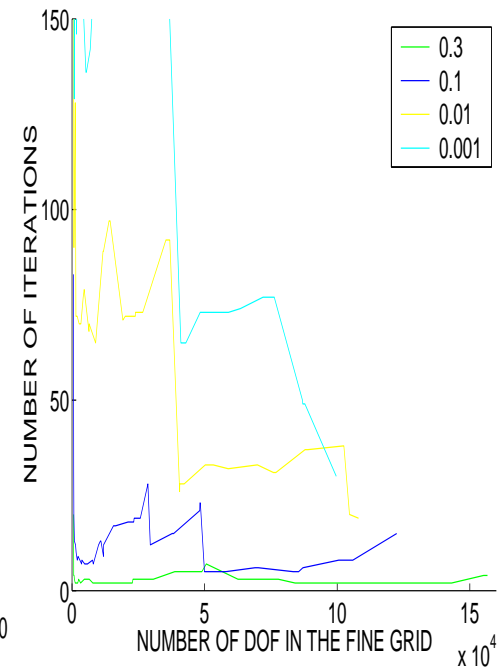
Ecuación del calor NO isotrópica. Guiando refinamientos hp con una solución en la malla fina que sólo ha convergido parcialmente.



Est. del error en la energía



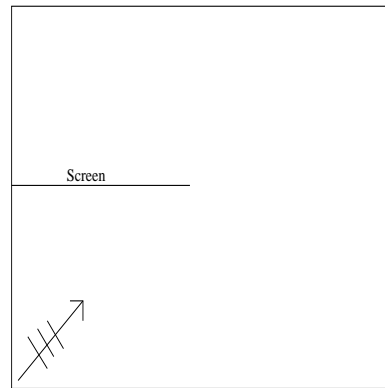
Est. del error de discretización



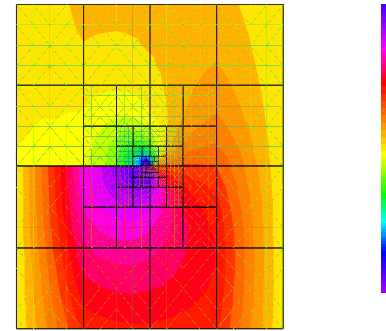
Num. de iteraciones

EFICIENCIA DEL RESOLVEDOR DE DOS MALLAS

Onda plana incidente en una pantalla (problema de difracción)



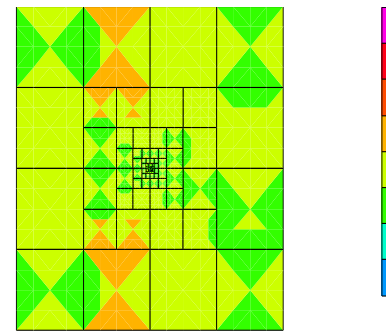
Geometría



Segunda componente del campo eléctrico



Convergencia exponencial
(tolerancia en el error= 0.1 %)

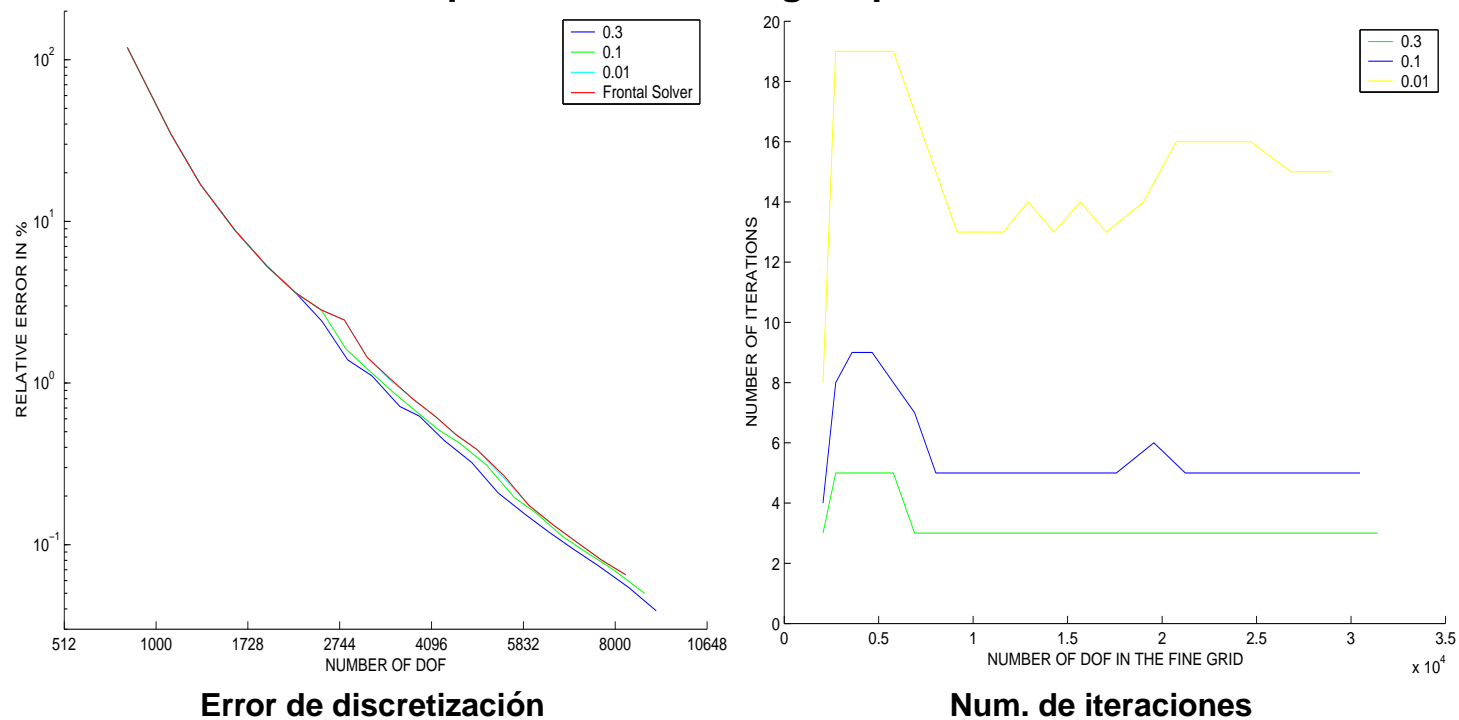


Mallado hp óptimo

EFICIENCIA DEL RESOLVEDOR DE DOS MALLAS

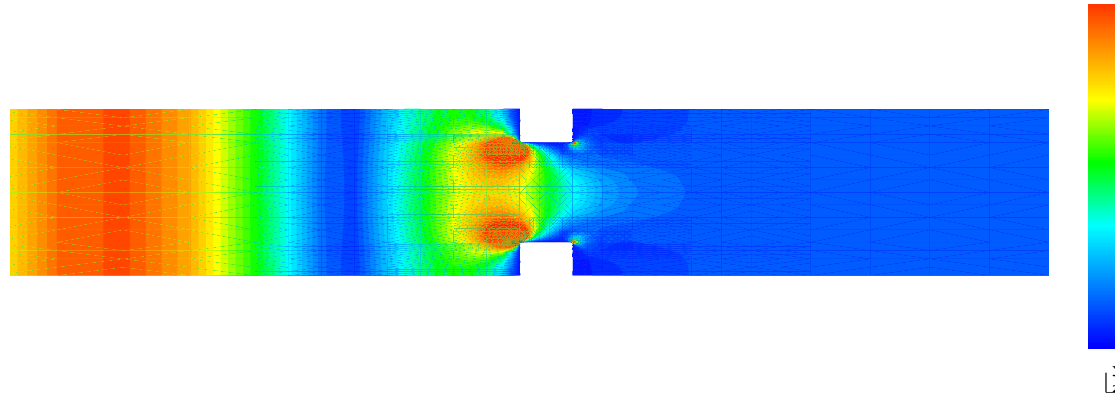
Guiando refinamientos automáticos en *hp*

Problema de difracción. Guiando refinamientos *hp* con una solución en la malla fina que sólo ha convergido parcialmente.

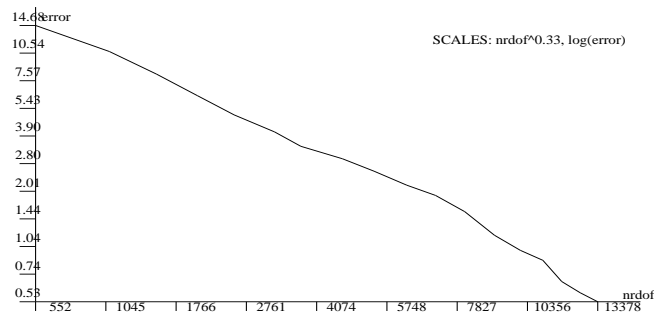


EFICIENCIA DEL RESOLVEDOR DE DOS MALLAS

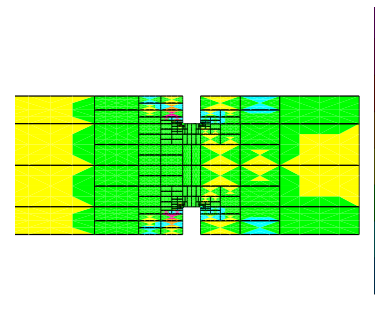
Problema de guía de ondas



Módulo de la Segunda Componente del Campo Magnético



Convergencia exponencial
(tolerancia en el error= 0.5%)

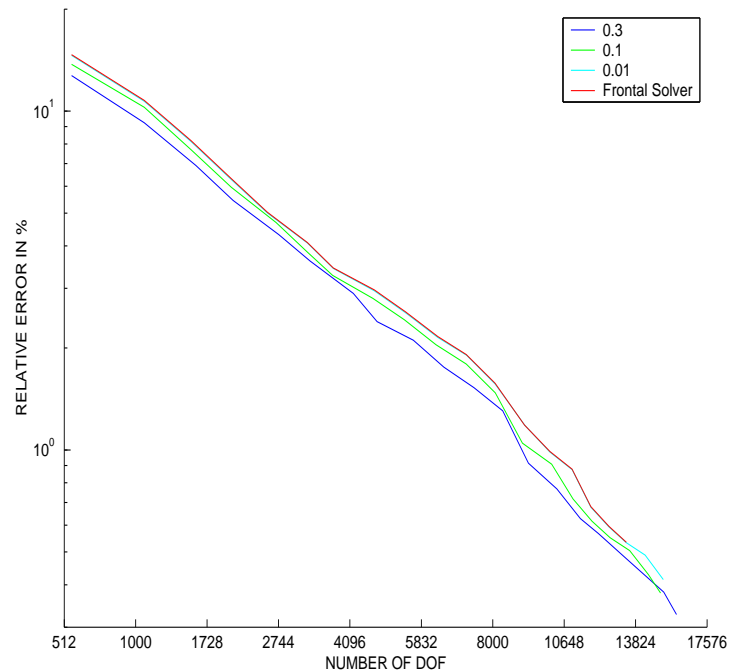


Mallado hp óptimo

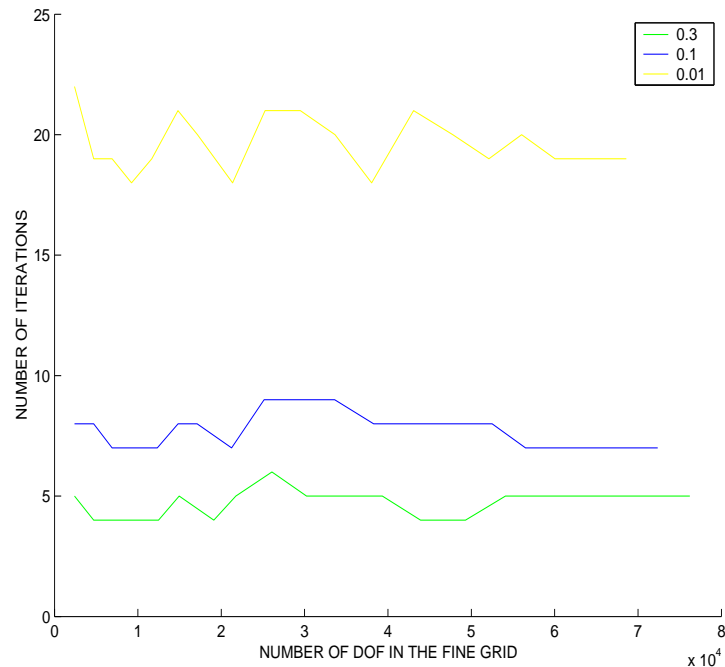
EFICIENCIA DEL RESOLVEDOR DE DOS MALLAS

Guiando refinamientos automáticos en hp

Problema de guía de ondas. Guiando refinamientos hp con una solución en la malla fina que sólo ha convergido parcialmente.



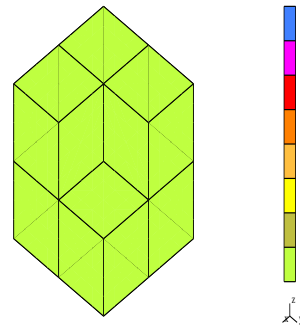
Error de discretización



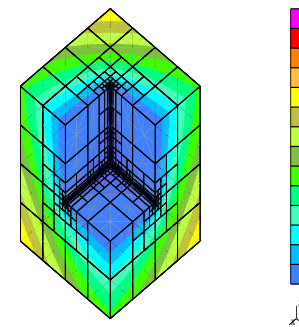
Num. de iteraciones

EFICIENCIA DEL RESOLVEDOR DE DOS MALLAS

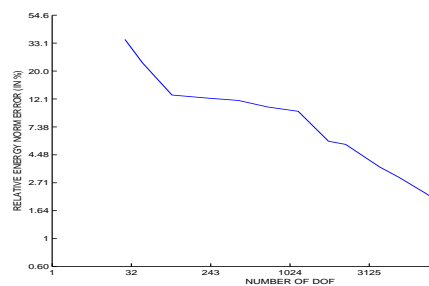
Problema de Fickera



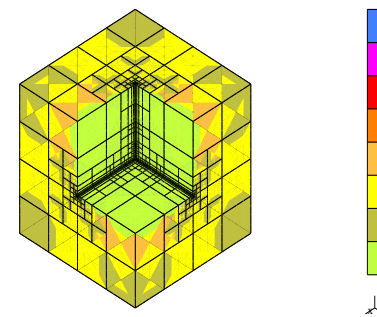
Ecuación: $-\Delta u = 0$
Condiciones en la Frontera: Neumann, Dirichlet



Solución: Desconocida



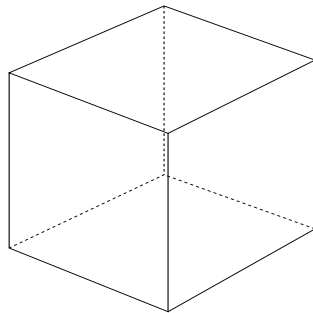
Convergencia exponencial
(tolerancia en el error= 1 %)



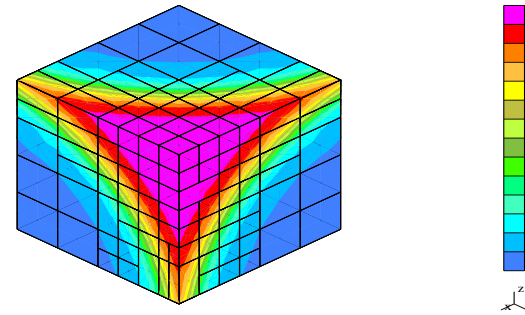
Mallado hp óptimo

EFICIENCIA DEL RESOLVEDOR DE DOS MALLAS

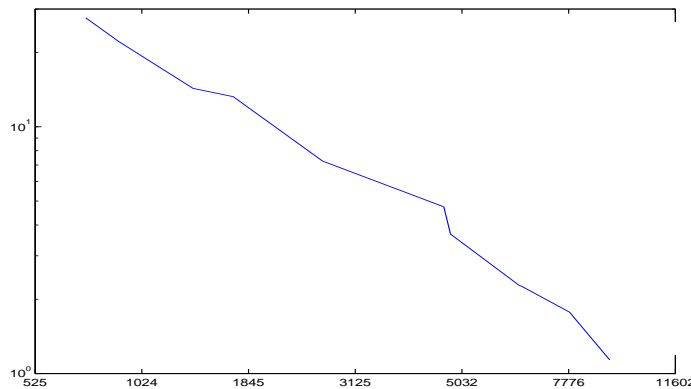
Problema en tres dimensiones (grandes variaciones en los gradientes)



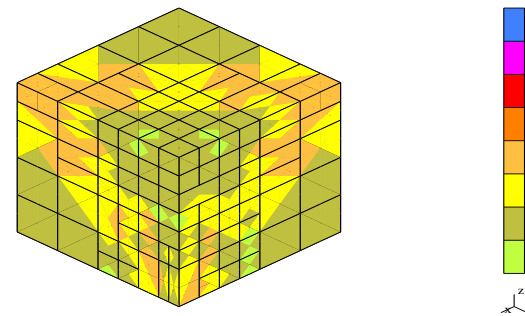
Ecuación: $-\Delta u = f$
 Geometría: $[0, \pi]$



Solución: $u = \text{atan}(20 * \sqrt{r} - \sqrt{3})$
 $r = (x - ,25) **2 + (y - ,25) **2 + (z - ,25) **2$
 Condiciones en la Frontera: Dirichlet



Convergencia exponencial
 (tolerancia en el error= 1%)

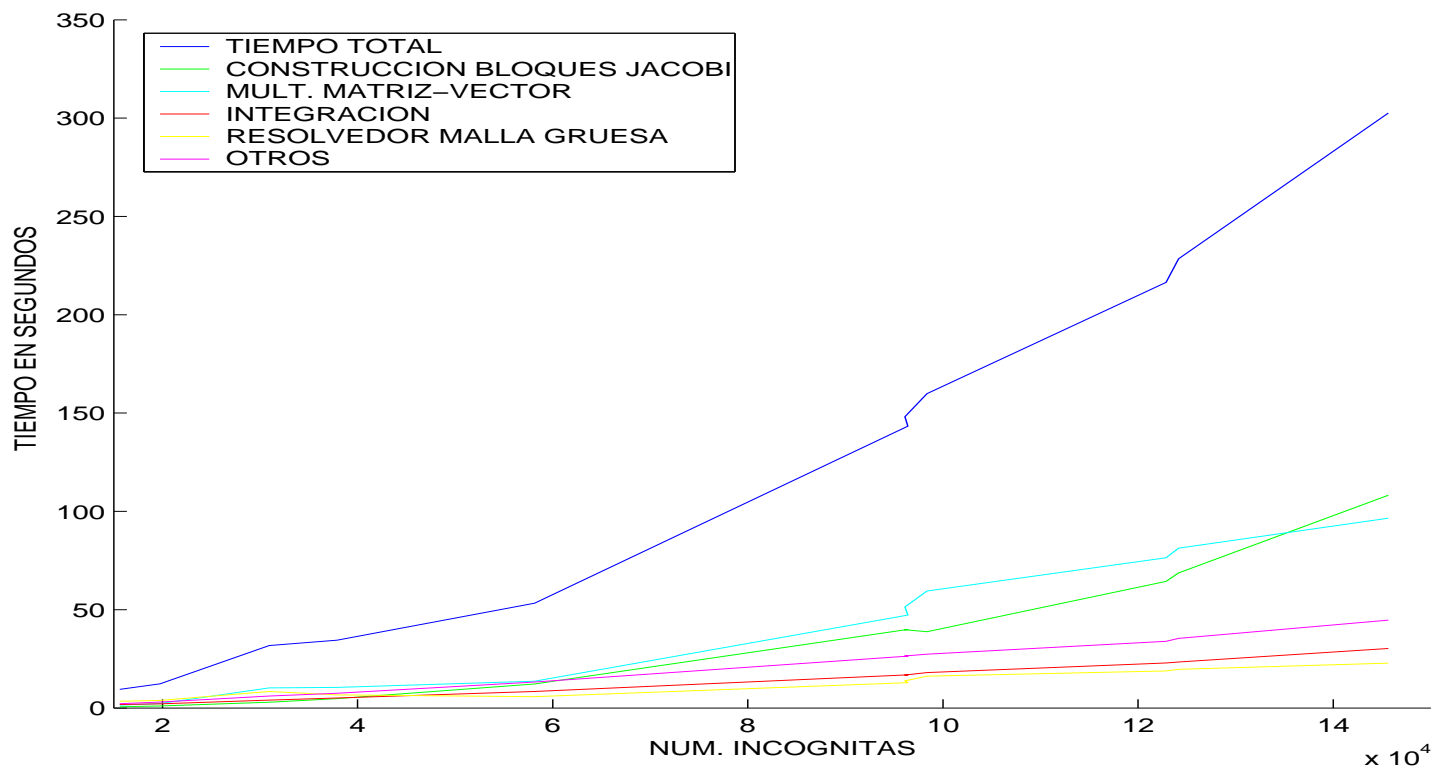


Mallado hp óptimo

EFICIENCIA DEL RESOLVEDOR DE DOS MALLAS

Eficiencia del resolvedor de dos mallas

Problema en tres dimensiones (grandes variaciones en los gradientes)

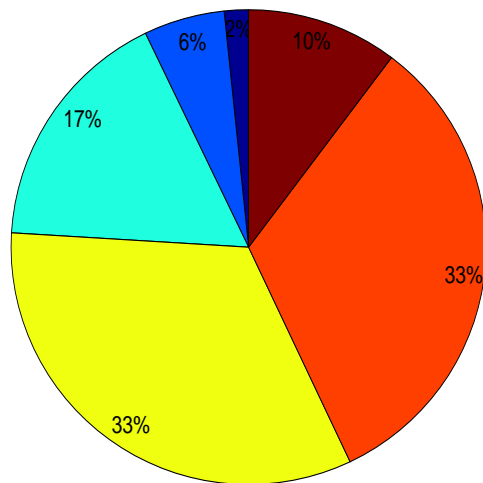
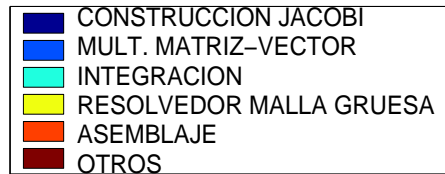


Operaciones en memoria, procesador AMD Athlon 1 Ghz.

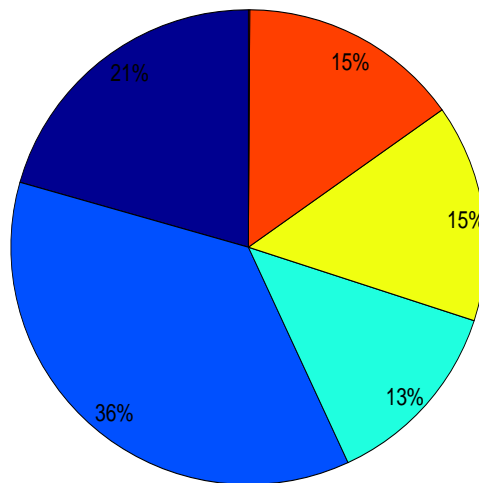
EFICIENCIA DEL RESOLVEDOR DE DOS MALLAS

Eficiencia del resolovedor de dos mallas

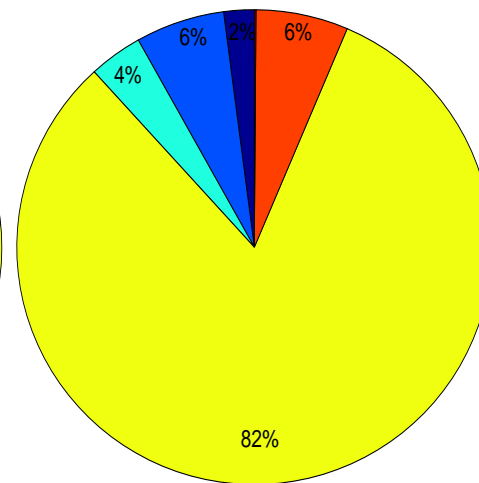
Problema en tres dimensiones (grandes variaciones en los gradientes)



Num-incógnitas \approx 2.15 Millones
 Tiempo total \approx 8 minutos
 Memoria* \approx 1.0 Gb
 p=2



Num-incógnitas \approx 0.27 Millones
 Tiempo total \approx 10 minutos
 Memoria* \approx 2.0 Gb
 p=8



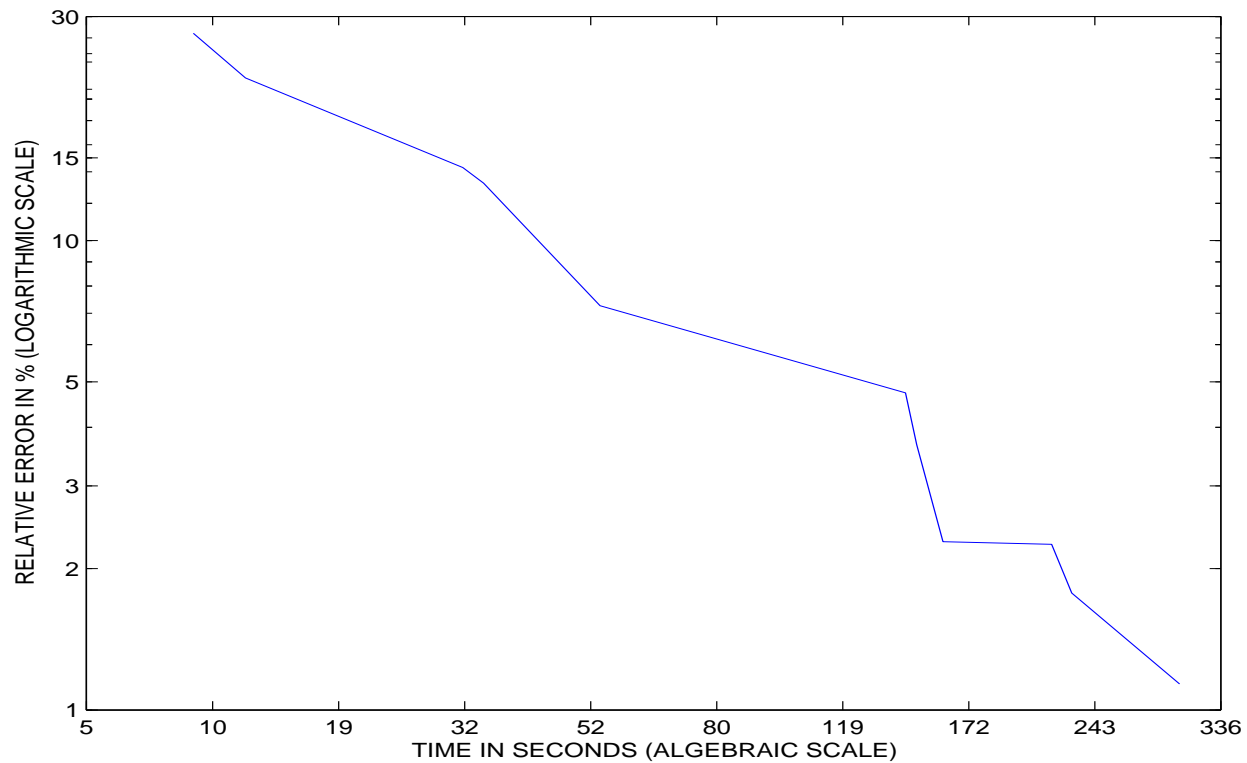
Num-incógnitas \approx 2.15 Millones
 Tiempo total \approx 50 minutos
 Memoria* \approx 3.5 Gb
 p=4

*Memoria = memoria utilizada por las entradas no nulas de la matriz de masa
 Operaciones en memoria, procesador IBM Power4 1.3 Ghz.

EFICIENCIA DEL RESOLVEDOR DE DOS MALLAS

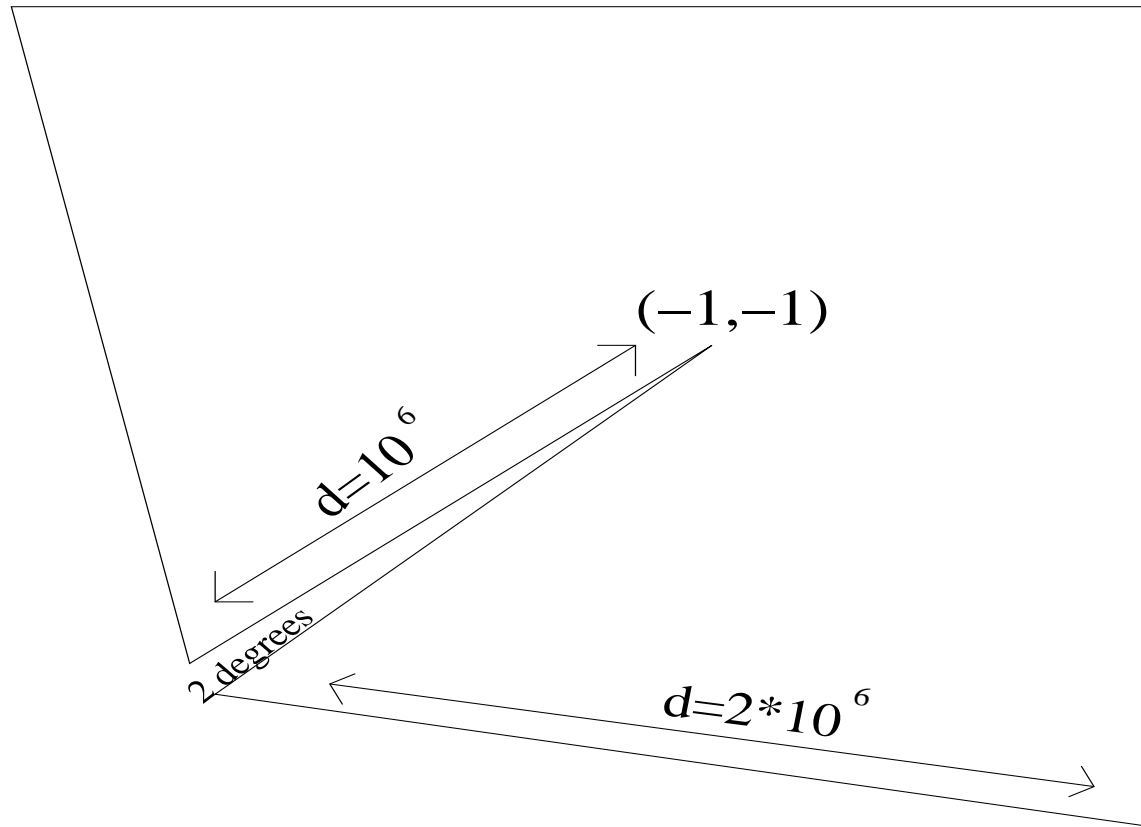
Convergencia exponencial

Problema en tres dimensiones (grandes variaciones en los gradientes)
Escalas: ERROR VS TIEMPO.



9. APLICACIONES AL ELECTROMAGNETISMO

Problema de difracción en una arista (Baker-Hughes): Electroestática

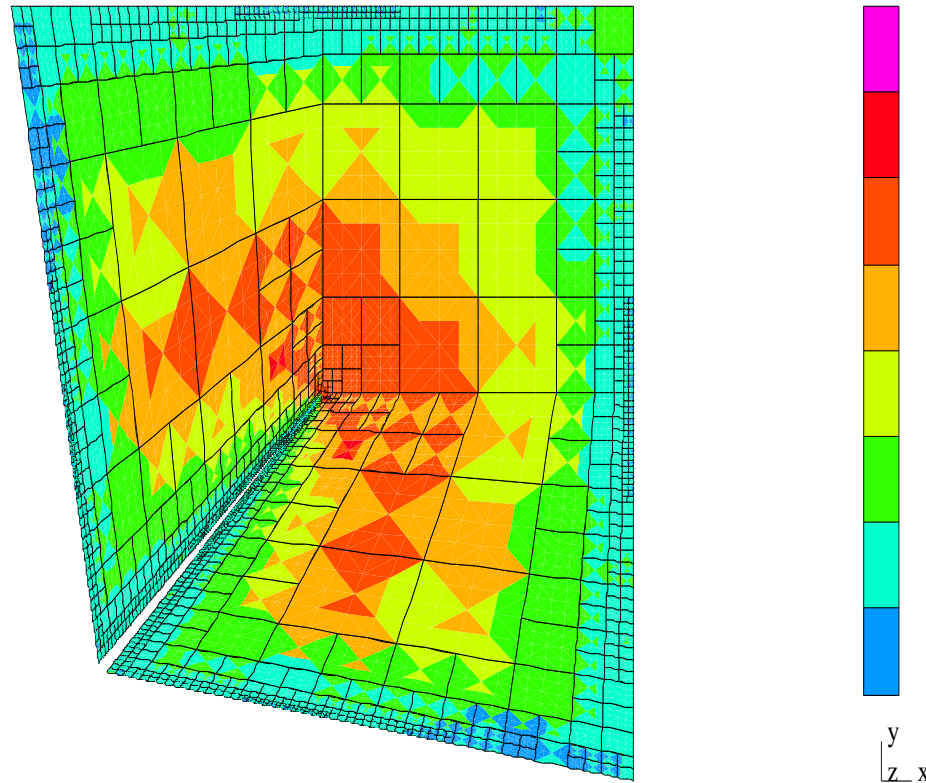


Dirichlet Boundary Conditions
 $u(\text{boundary}) = -\ln r, r = \sqrt{x^2 + y^2}$

9. APLICACIONES AL ELECTROMAGNETISMO

Problema de difracción en una arista : Mallado hp óptimo, Zoom = 1

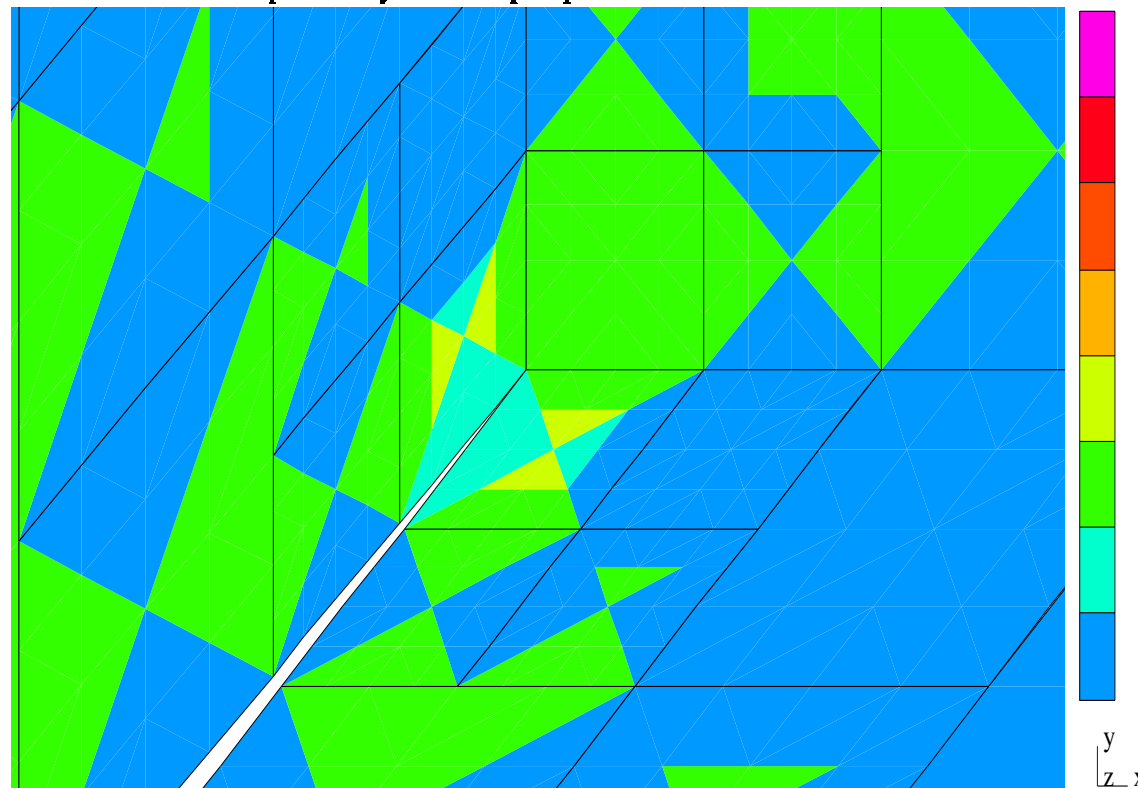
2Dhp90: A Fully automatic hp-adaptive Finite Element code



9. APLICACIONES AL ELECTROMAGNETISMO

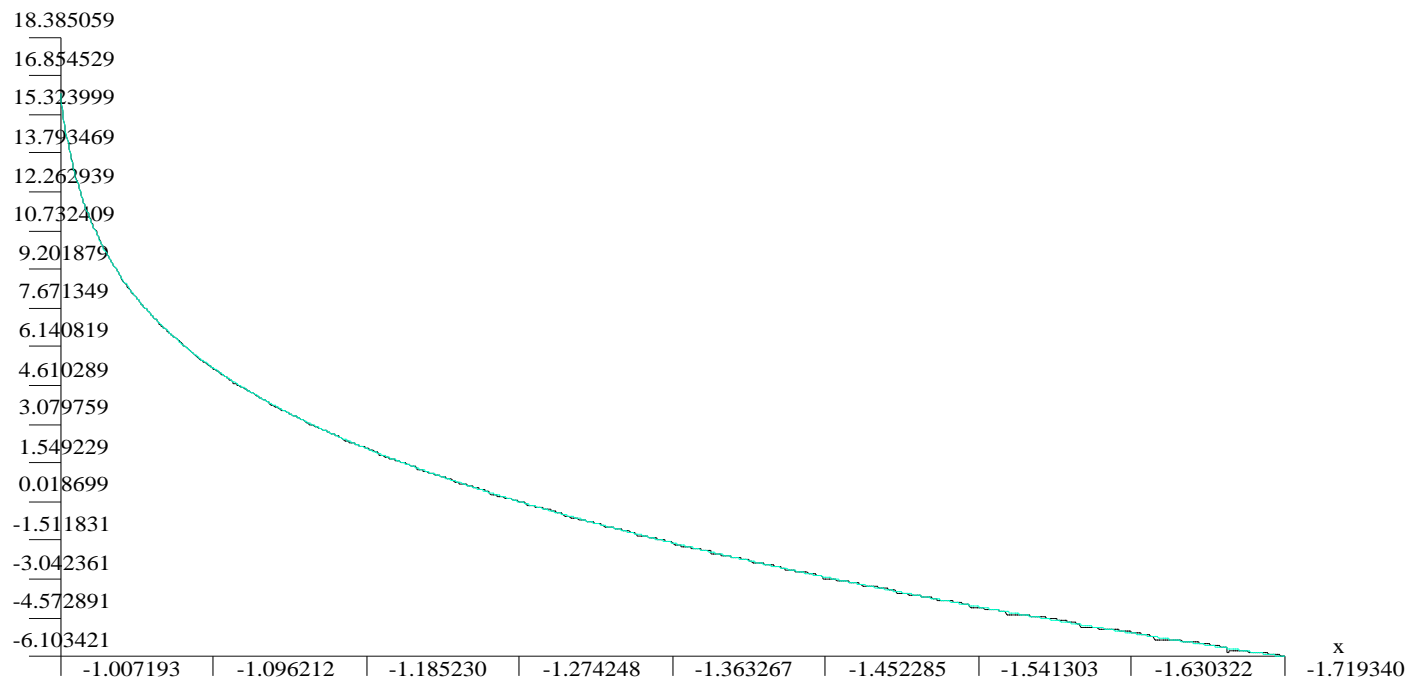
Problema de difracción en una arista : Mallado hp óptimo, Zoom = 10^{13}

2Dhp90: A Fully automatic hp-adaptive Finite Element code



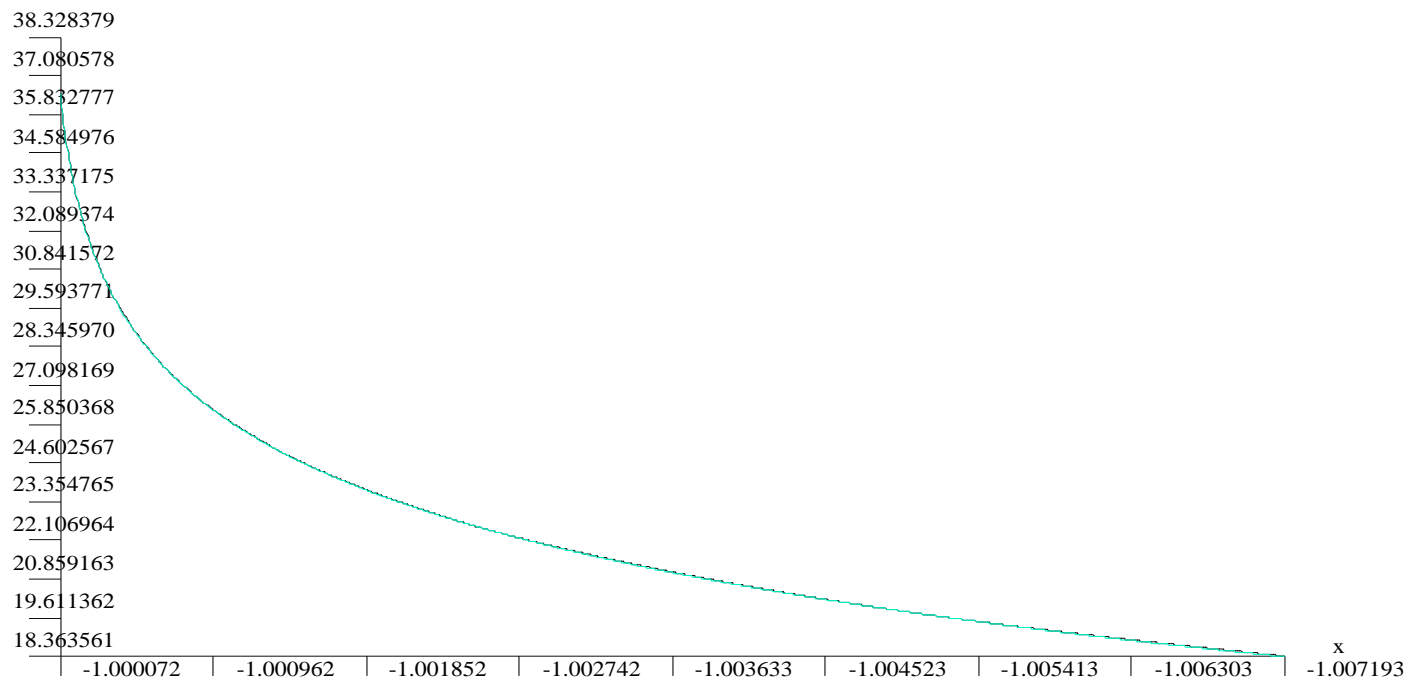
9. APLICACIONES AL ELECTROMAGNETISMO

Problema de difracción en una arista: Comparación entre la solución exacta y aproximada a distancias 0.01-1 de la singularidad



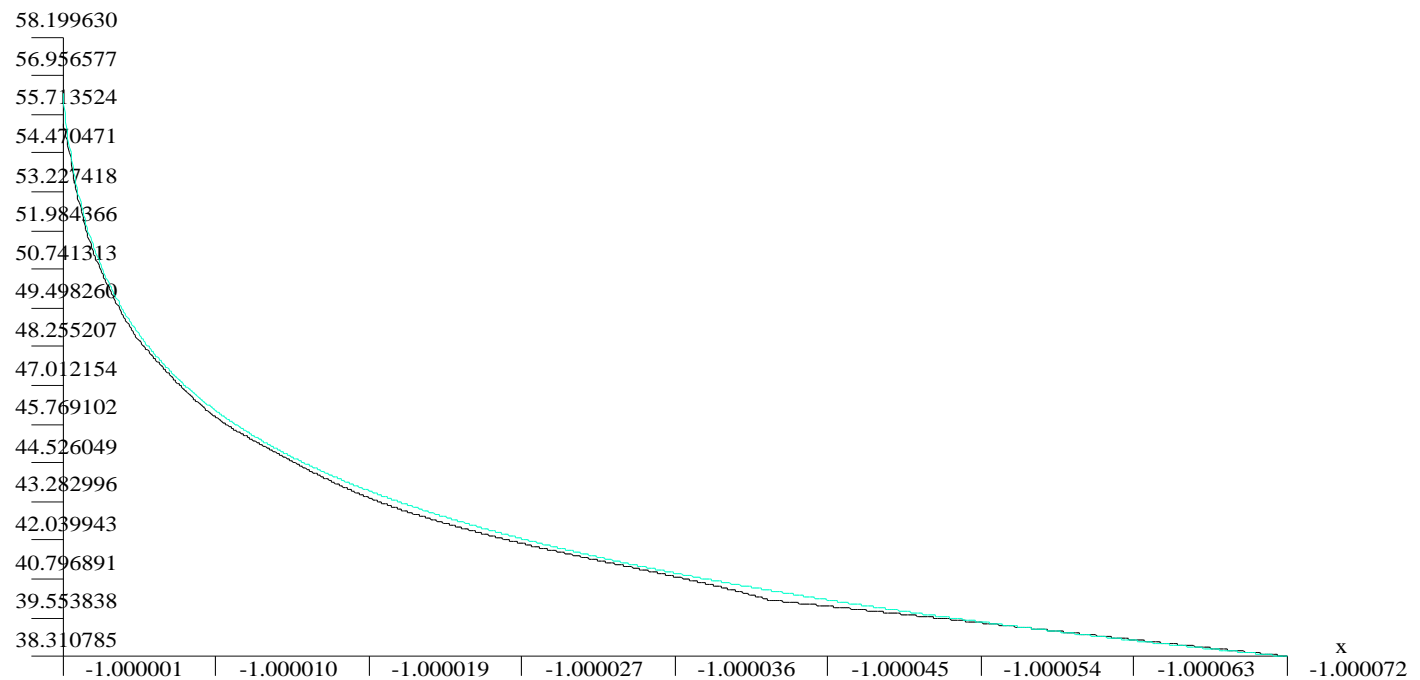
9. APLICACIONES AL ELECTROMAGNETISMO

Problema de difracción en una arista: Comparación entre la solución exacta y aproximada a distancias 0.0001-0.01 de la singularidad



9. APLICACIONES AL ELECTROMAGNETISMO

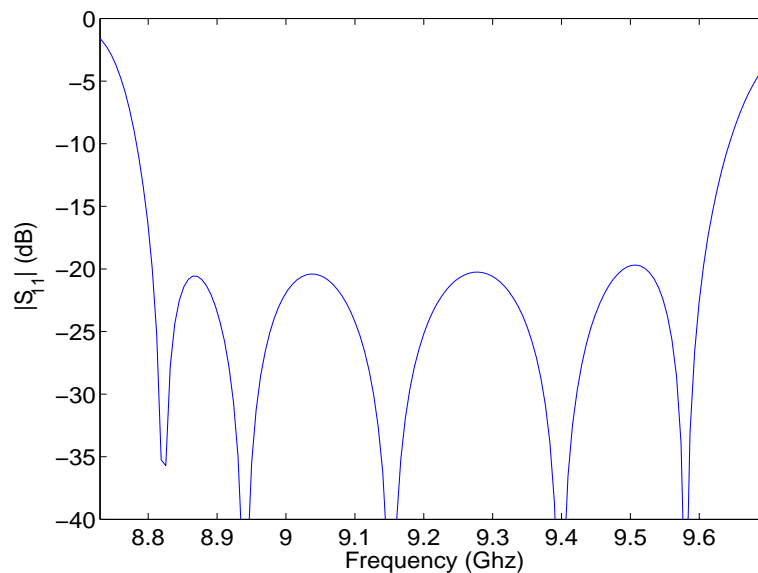
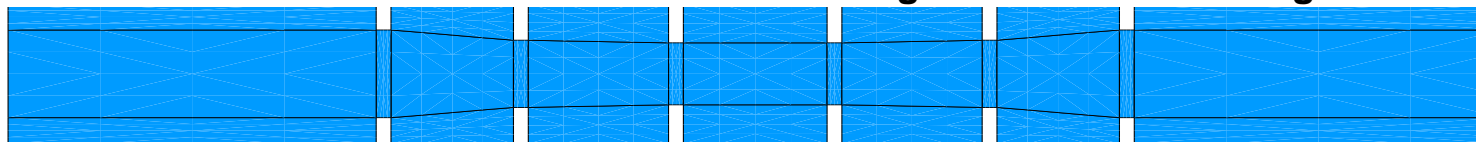
Problema de difracción en una arista: Comparación entre la solución exacta y aproximada a distancias 0.000001-0.0001 de la singularidad



9. APLICACIONES AL ELECTROMAGNETISMO

Guía de ondas con cinco iris

Geometría de un corte transversal de la guía de ondas rectangular



Cantidad de energía reflejada

Cinco iris resonantes en el plano H.

Modo dominante (fuente): TE_{10} .

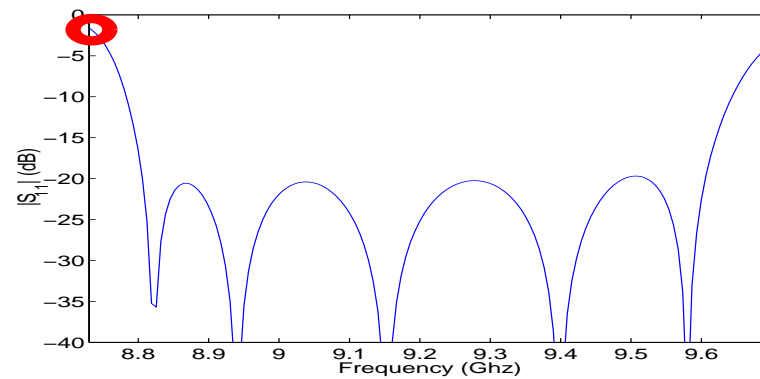
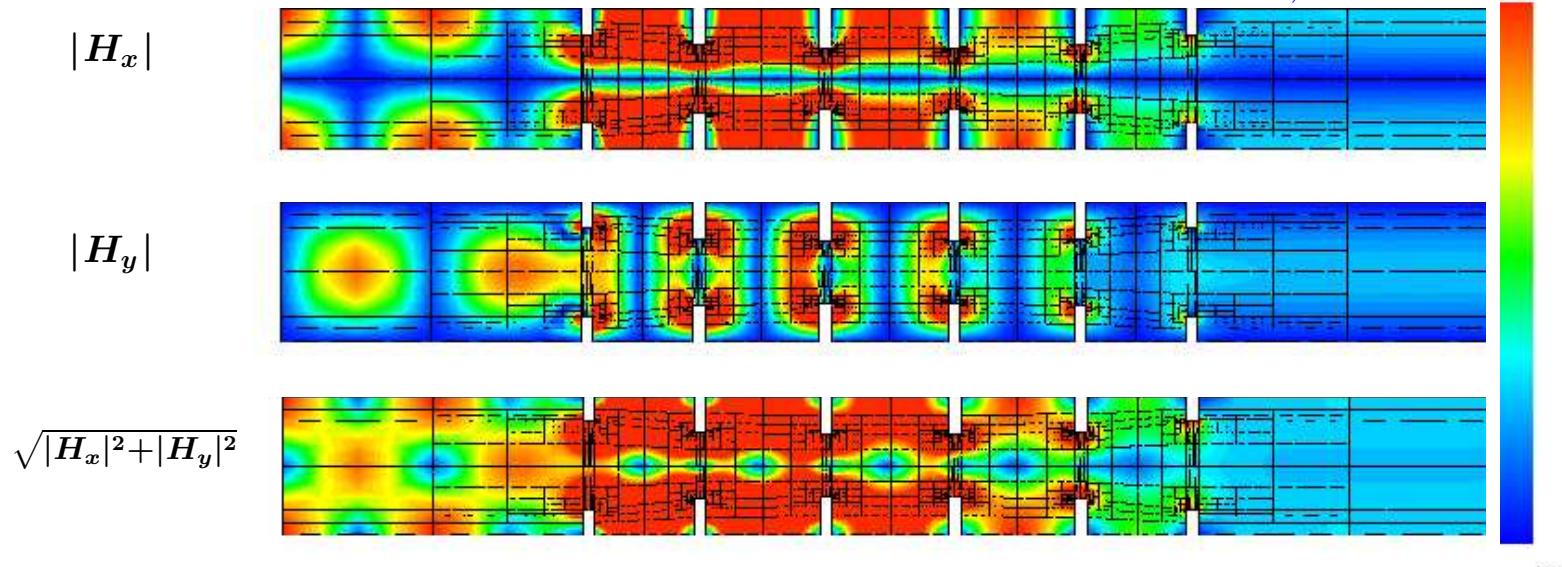
Dimensiones $\approx 20 \times 2 \times 1$ cm.

Frecuencias de interés: $\approx 8,8 - 9,6$ GHz

Frecuencia de corte: $\approx 6,56$ GHz

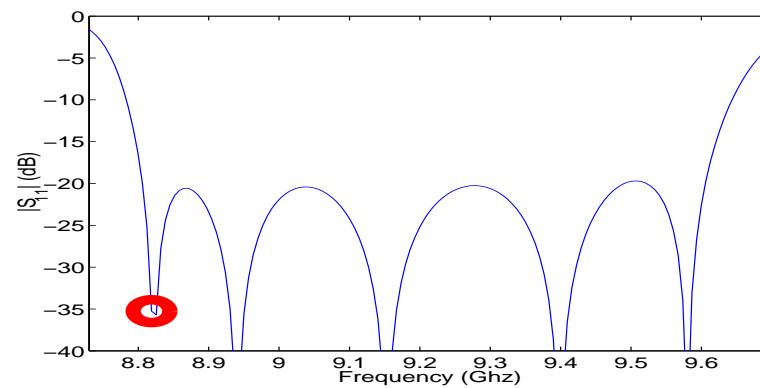
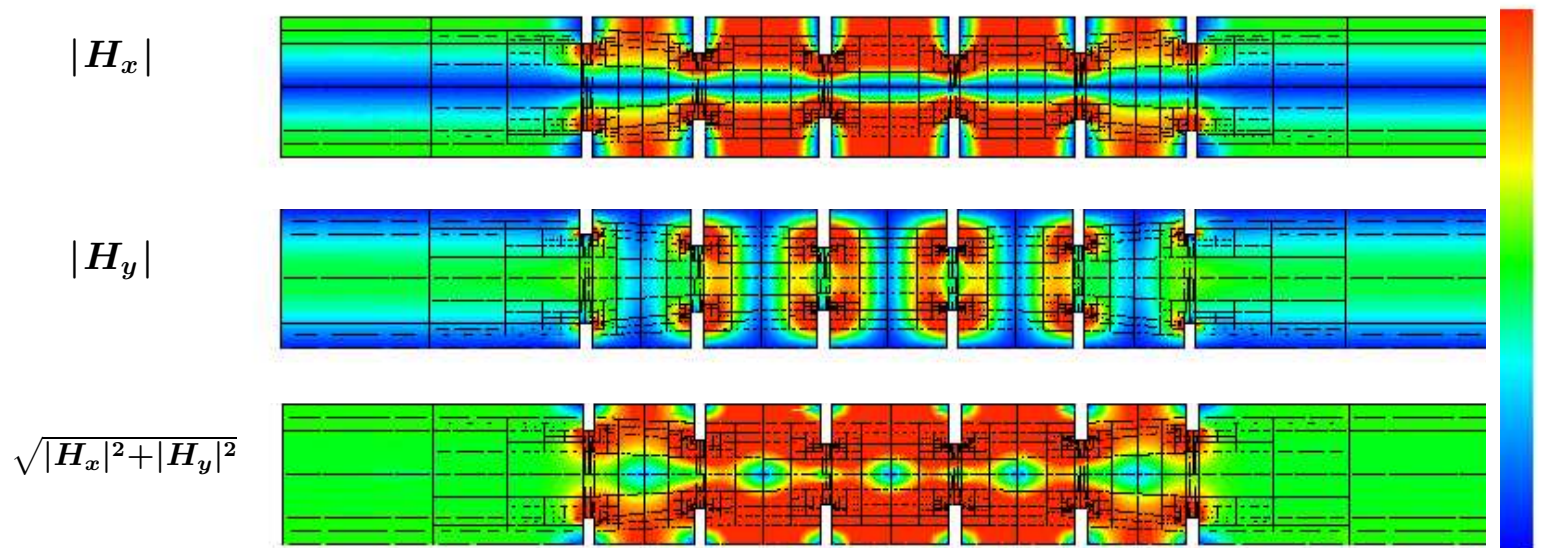
9. APLICACIONES AL ELECTROMAGNETISMO

Solución de Elementos Finitos con frecuencia = 8,72 Ghz



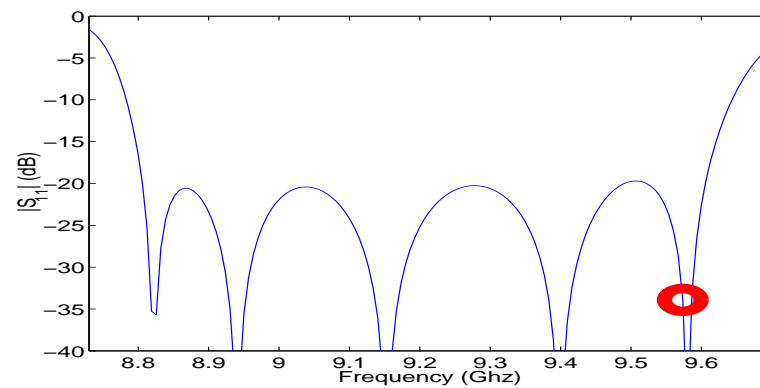
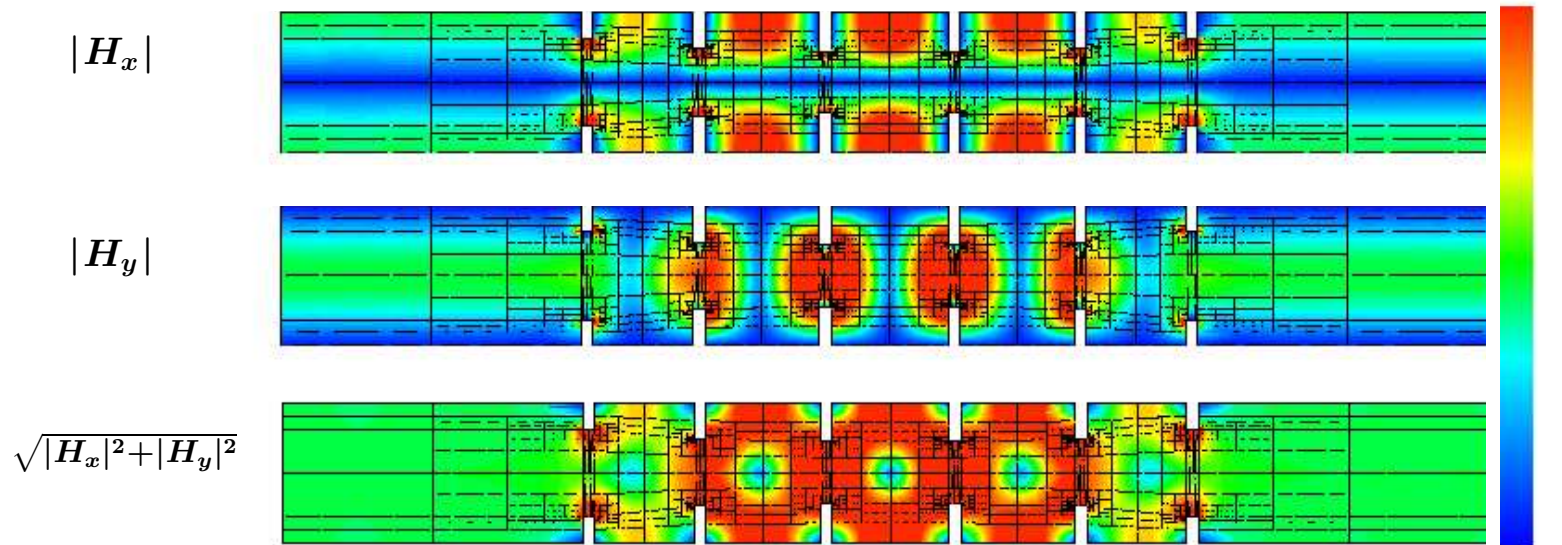
9. APLICACIONES AL ELECTROMAGNETISMO

Solución de Elementos Finitos con frecuencia = 8,82 Ghz



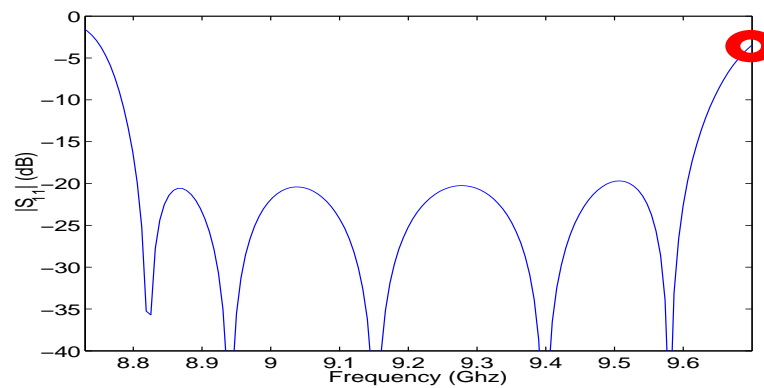
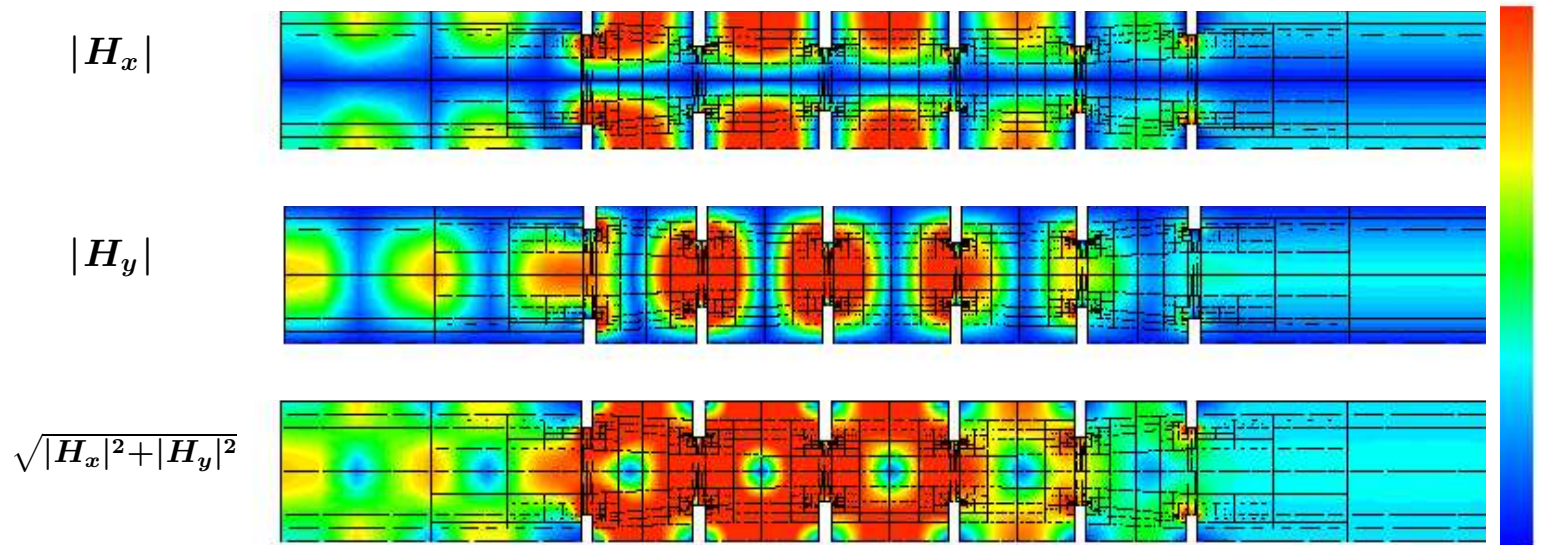
9. APLICACIONES AL ELECTROMAGNETISMO

Solución de Elementos Finitos con frecuencia = 9,58 Ghz



9. APLICACIONES AL ELECTROMAGNETISMO

Solución de Elementos Finitos con frecuencia = 9,71 Ghz



9. APLICACIONES AL ELECTROMAGNETISMO

Técnicas de mallado en el problema de guía de ondas

Nuestra tecnología de refinamientos automáticos incorpora:

Refinamientos en hp

Controlar el error de dispersión

h pequeño no es suficiente

Es necesario p grande

Guía de ondas: $p \approx 3$

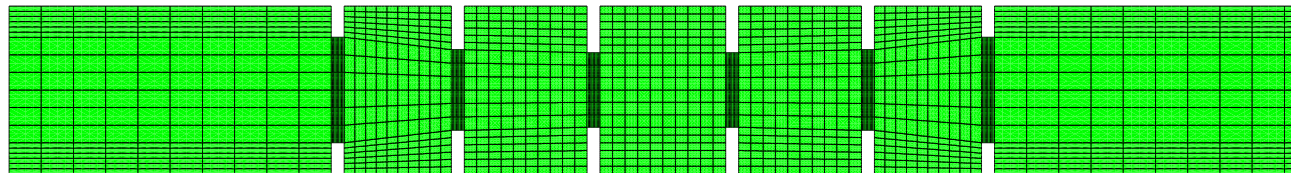
Resolvedor de dos mallas

Convergencia del método iterativo

No depende de p ($1 \leq p \leq 4$)

Malla gruesa suficientemente fina

Guía de ondas: $\lambda/h \approx 9$



Limitaciones de la estrategia de refinamientos en hp para problemas de propagación de ondas:

Necesitamos p grande y h pequeño.

9. APLICACIONES AL ELECTROMAGNETISMO

Técnicas de mallado en el problema de guía de ondas

Queremos investigar si la convergencia o no del resolvidor de dos mallas depende de p o h , y cuál es el tipo de dependencia.

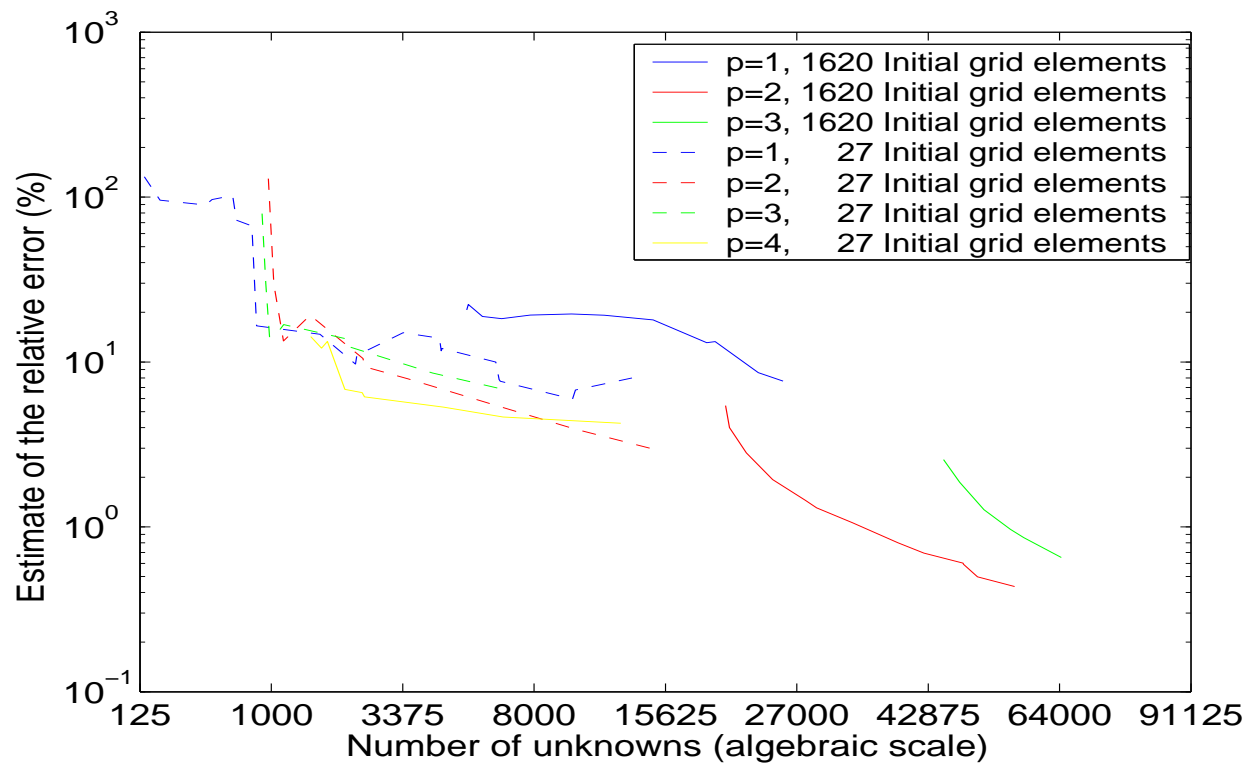
¿Converge el resolvidor?	$p = 1$	$p = 2$	$p = 3$	$p = 4$
Num. de elementos por $\lambda = 7, 13$	SÍ	SÍ	SÍ	SÍ
Num. de elementos por $\lambda = 7, 11$	NO	NO	NO	SÍ
Num. de elementos por $\lambda = 6, 13$	NO	NO	NO	NO

Convergencia (o no) del resolvidor de dos mallas NO depende de p .

9. APLICACIONES AL ELECTROMAGNETISMO

Técnicas de mallado en el problema de guía de ondas

Convergencia utilizando distintos mallados iniciales

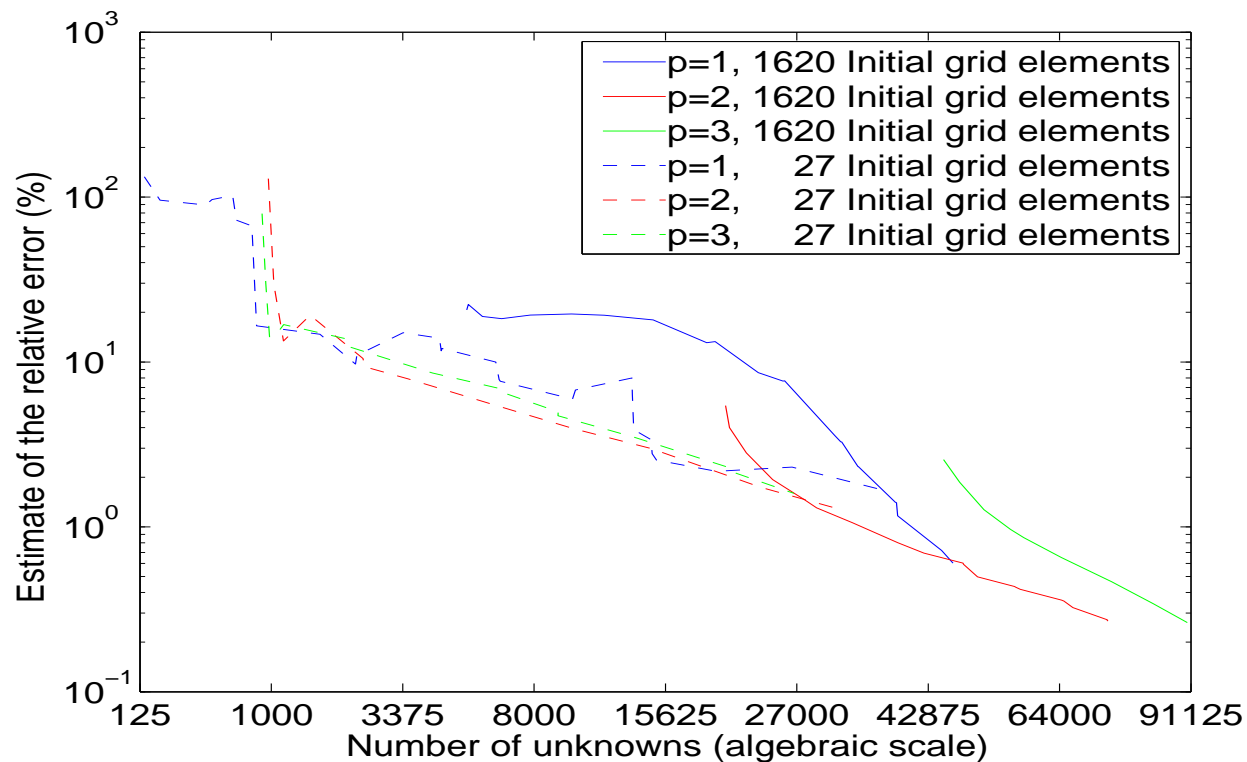


Conclusión : Debemos controlar el error de dispersión.

9. APLICACIONES AL ELECTROMAGNETISMO

Técnicas de mallado en el problema de guía de ondas

Convergencia utilizando distintos mallados iniciales



Conclusión : ¿Tenemos que controlar el error de dispersión?

10. CONCLUSIONES

- Utilizando el método de refinamientos automáticos en hp , obtenemos **convergencia exponencial**.
- Un **resolvedor de dos mallas** es un método iterativo **eficiente** aplicable a mallados NO uniformes en hp .
- Es posible guiar refinamientos automáticos en hp con una solución en la malla fina que sólo ha convergido parcialmente.
- Existe un compromiso en el diseño del mallado inicial entre elegir p grande y h pequeño.
- **El método numérico presentado es aplicable a una gran variedad de problemas electromagnéticos de interés.**